

บทที่ 5

ผลการจำลองและวิเคราะห์

จากผลการตรวจสอบความถูกต้องของแบบจำลองคณิตศาสตร์ของระบบกำจัดฝุ่นในที่เปิด โล่งโดยการจัดทดสอบน้ำ โดยการเบรียบเทียนกับชั้้อมูลที่ได้จากการวัดจริงเมื่อทำการติดตั้งระบบกำจัดฝุ่นเหนือแหล่งกำเนิดฝุ่นของโรงโน่น (กมล ธนาพรวรรณ, 2540 และกรรมควบคุมคลีช, 2540 และ 2541) ซึ่งนำเสนอยไปในบทที่ 4 สามารถสรุปได้ว่าแบบจำลองดังกล่าวมีความเหมาะสมและสามารถนำมาใช้ท่านายหรือประเมินค่าประสิทธิภาพการจับฝุ่นของระบบกำจัดฝุ่นในที่เปิดโดยการจัดทดสอบน้ำในช่วงสภาวะที่รูปแบบกลไกการจับฝุ่นด้วยหยดละของน้ำที่สำคัญ คือ กลไกการกระแทกด้วยแรงเชื้อย (Inertial impaction) ได้ ชั้้อมูลและความเข้าใจข้างต้นยังสามารถนำไปประยุกต์ใช้กับบริการเลือกหัวจัดให้เหมาะสมสำหรับการกำจัดฝุ่นในที่เปิดโล่ง โดยพิจารณาจากค่าลักษณะสมบัติของหัวจัด ยังได้แก่ การกระจายขนาดของหยดละของน้ำ ตั้งจะกล่าวต่อไปในบทที่ 5 นี้

เนื้อหาของบทนี้จะประกอบไปด้วยการศึกษาผลกระทบของการกระจายขนาดของหยดละของน้ำที่ถูกพ่นออกจากหัวจัดและการกระจายขนาดของอนุภาคฝุ่นที่พุ่งกระจายอยู่ในระบบ ผลของความเร็วและทิศทางลมจากสิ่งแวดล้อมต่อระบบการกำจัดฝุ่นโดยการจัดทดสอบน้ำเหนือแหล่งกำเนิดฝุ่นในที่เปิดโล่ง

5.1 อิทธิพลของการกระจายขนาดของอนุภาคฝุ่น และหยดละของน้ำ

5.1.1 กรณีอนุภาคฝุ่นที่พุ่งกระจายอยู่ในระบบ และหยดละของน้ำที่ถูกพ่นออกจากหัวจัดมีขนาดเดียว

ในที่นี้จะทำการศึกษาโดยกำหนดพารามิเตอร์ และตัวแปรต่างๆ มีค่าคงที่ดังแสดงในตารางที่ 5.1 จากนั้นทำการปรับเปลี่ยนขนาดของอนุภาคฝุ่น และขนาดของหยดละของน้ำ เพื่อศึกษาว่าในสภาวะการดังกล่าวแนวโน้มประสิทธิภาพรวมการจับฝุ่นด้วยการจัดทดสอบน้ำจะเป็นอย่างไรเมื่อ

หยดละของน้ำและอนุภาคฝุ่นเมือนาเดเปลี่ยนแปลง โดยขนาดของอนุภาคฝุ่นและหยดละของน้ำที่ทำ การปรับเปลี่ยนมีนาเดตตั้งแต่ 0.5 – 10 ไมครอน และ 80 – 1000 ไมครอน ตามลำดับ

ตารางที่ 5.1 แสดงค่าพารามิเตอร์และตัวแปรต่างๆ ที่ใช้ในการศึกษาประสิทธิภาพการจับฝุ่นด้วย หยดละของน้ำ เมื่ออนุภาคฝุ่นที่ผุ้งกระเจ้ายอยู่ในระบบและหยดละของน้ำที่ถูกพ่นออกจากหัวฉีดมี ขนาดเดียวกัน

ข้อมูลแหล่งกำเนิดฝุ่น

- ขนาดของอุปกรณ์	$0.8 \times 1 \times 2$	ลบ.ม.
- พื้นที่แผ่นล่งกำเนิดฝุ่น	0.8×1	ตร.ม.
- ระยะห่างจากแหล่งกำเนิดฝุ่นที่พิจารณา	1	ม.
- ความเร็วฝุ่นที่ผุ้งชี้ขึ้นมาจากแหล่งล่งกำเนิด (U)	0.1	ม./วินาที
- ความเร็วลมจากสิ่งแวดล้อม (U_{amb})	3	ม./วินาที
- ความสูงเฉลี่ยของลำสรเบรร์ (L_w)	0.5	ม.
- ความหนาแน่นของอากาศ (ρ_a)	1.2928	กก./ลบ.ม.
- ความหนืดของอากาศ (μ_a)	1.8×10^{-5}	กก./ม. วินาที

ข้อมูลคุณสมบัติของหยดละของน้ำ ได้แก่

- ความหนาแน่นของหยดละของน้ำ (ρ_w)	1000	กก./ลบ.ม.
- อัตราการไนซองหยดละของน้ำออกจากหัวฉีดสรเบรร์ (w)	1.88×10^{-5}	ลบ.ม./วินาที
- รัศมีของลำสรเบรร์ (R_w)	0.25	ม.
- จำนวนหัวฉีด	1	หัวฉีด

ข้อมูลคุณสมบัติของอนุภาคฝุ่น

- ความหนาแน่นของอนุภาคฝุ่น (ρ_d)	2600	กก./ลบ.ม.
- รัศมีอนุภาคฝุ่นที่มี	สิ่งแวดล้อม – แหล่งล่งกำเนิดฝุ่น	
- ความเข้มข้นของอนุภาคฝุ่นจากสิ่งแวดล้อม	2.11×10^{-6}	กก./ลบ.ม.
- ความเข้มข้นของอนุภาคฝุ่นที่ผุ้งชี้ขึ้นจากแหล่งล่งกำเนิด	3.133	กก./ลบ.ม.

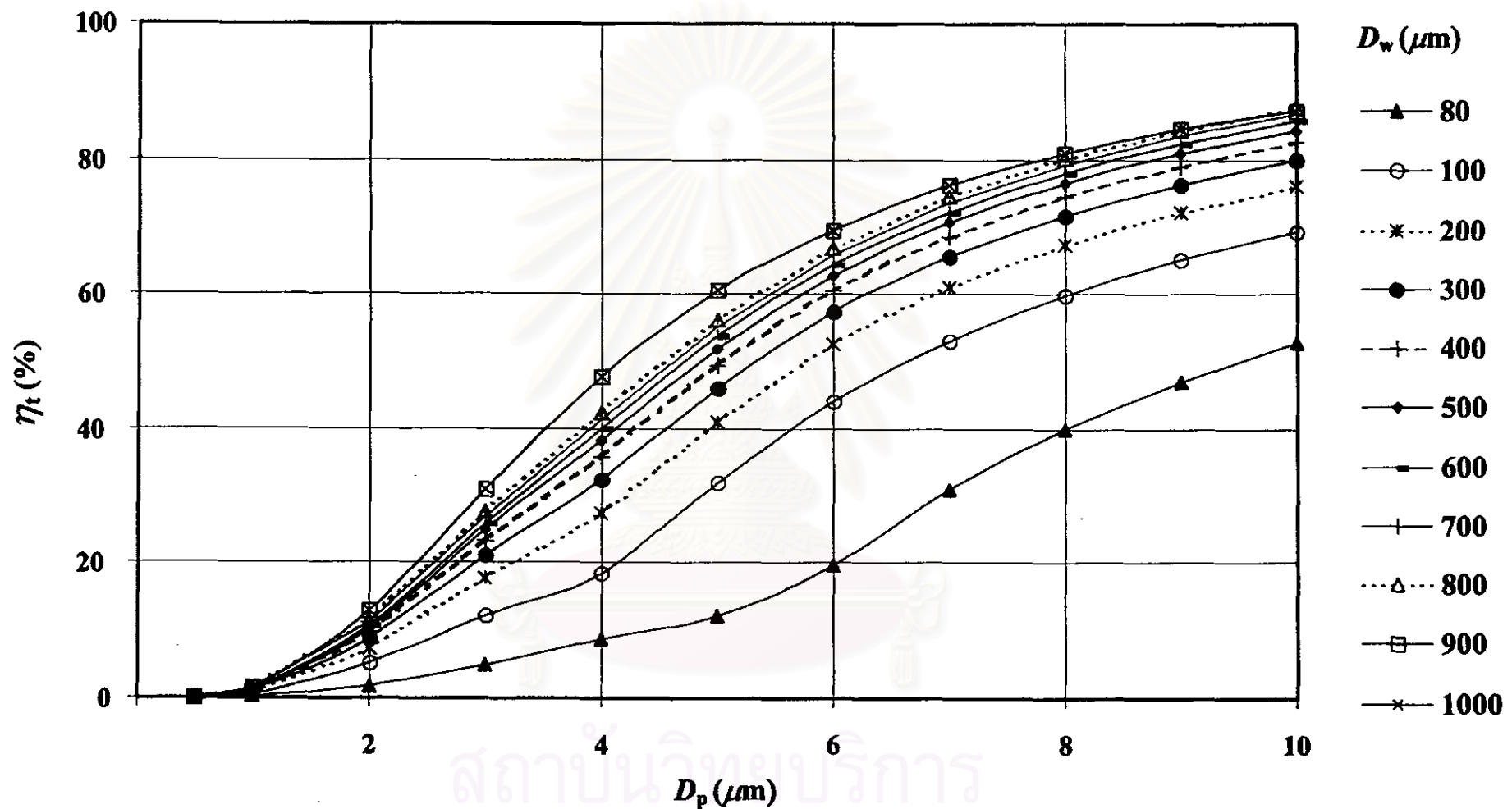
ในการศึกษาอิทธิพลของการกระจายขนาดของอนุภาคฝุ่นและหยดละของน้ำ นอกจากจะต้องพิจารณาค่าประสิทธิภาพการจับฝุ่นด้วยหยดละของน้ำ (η_{pm}) ขนาดของหยดละของน้ำ (D_w) และขนาดของอนุภาคฝุ่น (D_p) ที่อยู่ในระบบแล้ว ยังต้องคำนึงถึงค่าประสิทธิภาพการจับฝุ่นของหยดละของน้ำ 1 หยด (η_1) เนื่องจากค่าดังกล่าวขึ้นอยู่กับขนาดของอนุภาคฝุ่นและขนาดของหยดละของน้ำในการจับอนุภาคฝุ่น นอกจากนี้ค่าดังกล่าวยังมีความสำคัญต่อการคำนวณค่าประสิทธิภาพการจับฝุ่นซึ่งได้กล่าวไว้แล้วในหัวข้อ 4.2 ดังนั้นตารางที่ 5.2 แสดงผลข้อมูลผลการคำนวณประสิทธิภาพการจับฝุ่นของหยดละของน้ำ 1 หยด (η_1) โดยขนาดหยดละของน้ำที่พิจารณาอยู่จะในช่วง 80 – 1000 ไมครอน และขนาดอนุภาคฝุ่นที่พิจารณาอยู่ในช่วง 0.5 – 10 ไมครอน และเมื่อนำข้อมูลจากตารางที่ 5.2 มาเรียงกราฟจะได้กราฟแสดงความสัมพันธ์ระหว่างประสิทธิภาพการจับฝุ่นของหยดละของน้ำ 1 หยด กับขนาดหยดละของน้ำและอนุภาคฝุ่นดังแสดงในรูปที่ 5.1 นอกจากนี้ในตารางที่ 5.3 แสดงข้อมูลระหว่างผลการคำนวณประสิทธิภาพการจับฝุ่นของหยดละของน้ำ 1 หยด กับค่าพารามิเตอร์การสกัดกั้น (Interception parameter, R) เมื่อยดละของน้ำและอนุภาคฝุ่นมีขนาดต่างๆ และรูปที่ 5.2 - 3 แสดงกราฟความสัมพันธ์ของข้อมูลดังกล่าวกับขนาดของอนุภาคฝุ่นและหยดละของน้ำตามลำดับ

อิทธิพลของขนาดหยดละของน้ำและอนุภาคฝุ่นต่อประสิทธิภาพรวมการจับฝุ่นด้วยการจัดหยดละของน้ำ (η_{pm}) ได้แสดงไว้ในตารางที่ 5.4 และกราฟรูปที่ 5.4 ในทำนองเดียวกับข้อมูลอิทธิพลของขนาดหยดละของน้ำและอนุภาคฝุ่นต่อประสิทธิภาพรวมการจับฝุ่นด้วยการจัดหยดละของน้ำและค่าพารามิเตอร์การสกัดกั้น (Interception parameter, R) ในกรณีที่กลไกการสกัดกั้นมีผลกระทบต่อการกำจัดฝุ่น ได้แสดงไว้ในตารางที่ 5.5 และกราฟรูปที่ 5.5

สถาบันวิทยบริการ จุฬาลงกรณ์มหาวิทยาลัย

ตารางที่ 5.2 แสดงข้อมูลผลการประมาณประสมประสิทธิภาพการจับผู้น้ำของหยดละอองน้ำ 1 หยด(ก.) เมื่อขนาดหยดละอองน้ำ(D_w) ที่พิจารณาอยู่ในช่วง 80 – 1000 ไมครอน และขนาดอนุภาคฝุ่น(D_p) ที่พิจารณาอยู่ในช่วง 0.5 – 10 ไมครอน

		η_t										
D_w	D_p	80	100	200	300	400	500	600	700	800	900	1000
0.5	1.0694E-04	4.4088E-04	6.5120E-04	7.7434E-04	8.5519E-04	9.1235E-04	9.5489E-04	9.8780E-04	1.0140E-03	1.1413E-03	1.1413E-03	
1	1.5245E-03	5.8156E-03	8.5899E-03	1.0214E-02	1.1281E-02	1.2035E-02	1.2596E-02	1.3030E-02	1.3375E-02	1.5055E-02	1.5055E-02	
2	1.6273E-02	4.9714E-02	7.3431E-02	8.7315E-02	9.6432E-02	1.0288E-01	1.0767E-01	1.1139E-01	1.1434E-01	1.2869E-01	1.2869E-01	
3	4.8350E-02	1.1997E-01	1.7719E-01	2.1070E-01	2.3270E-01	2.4825E-01	2.5983E-01	2.6878E-01	2.7591E-01	3.1055E-01	3.1055E-01	
4	8.6717E-02	1.8453E-01	2.7255E-01	3.2409E-01	3.5793E-01	3.8185E-01	3.9966E-01	4.1343E-01	4.2440E-01	4.7767E-01	4.7767E-01	
5	1.2203E-01	3.2016E-01	4.0895E-01	4.6093E-01	4.9507E-01	5.1920E-01	5.3716E-01	5.5105E-01	5.6211E-01	6.0466E-01	6.0466E-01	
6	1.9582E-01	4.4170E-01	5.2478E-01	5.7343E-01	6.0536E-01	6.2794E-01	6.4475E-01	6.5775E-01	6.6810E-01	6.9605E-01	6.9605E-01	
7	3.1005E-01	5.3098E-01	6.0940E-01	6.5532E-01	6.8546E-01	7.0677E-01	7.2264E-01	7.3491E-01	7.4468E-01	7.6154E-01	7.6154E-01	
8	3.9899E-01	5.9857E-01	6.7289E-01	7.1641E-01	7.4498E-01	7.6517E-01	7.8021E-01	7.9184E-01	8.0110E-01	8.0911E-01	8.0911E-01	
9	4.6969E-01	6.5113E-01	7.2176E-01	7.6311E-01	7.9027E-01	8.0946E-01	8.2375E-01	8.3480E-01	8.4360E-01	8.4435E-01	8.4435E-01	
10	5.2694E-01	6.9295E-01	7.6025E-01	7.9965E-01	8.2552E-01	8.4381E-01	8.5742E-01	8.6795E-01	8.7588E-01	8.7099E-01	8.7099E-01	



รูปที่ 5.1 กราฟแสดงความสัมพันธ์ระหว่างประสิทธิภาพการจับผุนของหยดละอองน้ำ 1 หยด(η_w) กับขนาดของอนุภาคผุน(D_p) และหยดละอองน้ำ(D_w)

ตารางที่ 5.3 แสดงข้อมูลผลการคำนวณประสิทธิภาพการจับคุณของหยดละของน้ำ 1 หยด(ก.) โดยขนาดหยดละของน้ำ(D_w) ที่พิจารณาอยู่ในช่วง 80 – 1000 ไมครอน และขนาดอุบากผุ่น(D_p) ที่พิจารณาอยู่ในช่วง 0.5 – 10 ไมครอน และค่าพารามิเตอร์การสกัดกั้น (Interception parameter, R)

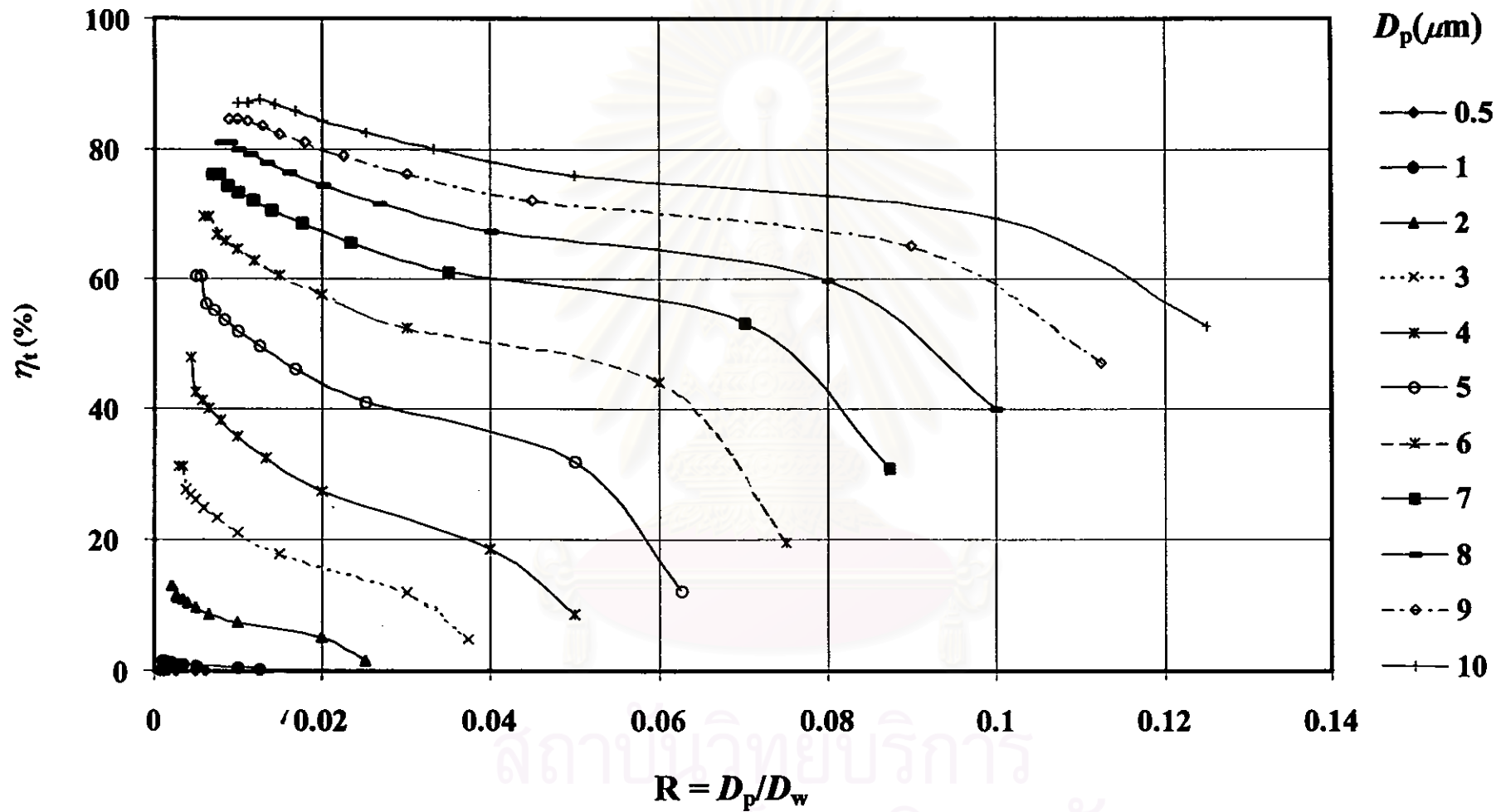
$D_p \backslash D_w$	0.5		1		2		3		4		5	
	R	η_t										
80	6.250E-03	1.069E-04	1.250E-02	1.524E-03	2.500E-02	1.627E-02	3.750E-02	4.835E-02	5.000E-02	8.672E-02	6.250E-02	1.220E-01
100	5.000E-03	4.409E-04	1.000E-02	5.816E-03	2.000E-02	4.971E-02	3.000E-02	1.200E-01	4.000E-02	1.845E-01	5.000E-02	3.202E-01
200	2.500E-03	6.512E-04	5.000E-03	8.590E-03	1.000E-02	7.343E-02	1.500E-02	1.772E-01	2.000E-02	2.726E-01	2.500E-02	4.090E-01
300	1.667E-03	7.743E-04	3.333E-03	1.021E-02	6.667E-03	8.732E-02	1.000E-02	2.107E-01	1.333E-02	3.241E-01	1.667E-02	4.609E-01
400	1.250E-03	8.552E-04	2.500E-03	1.128E-02	5.000E-03	9.643E-02	7.500E-03	2.327E-01	1.000E-02	3.579E-01	1.250E-02	4.951E-01
500	1.000E-03	9.123E-04	2.000E-03	1.203E-02	4.000E-03	1.029E-01	6.000E-03	2.483E-01	8.000E-03	3.819E-01	1.000E-02	5.192E-01
600	8.333E-04	9.549E-04	1.667E-03	1.260E-02	3.333E-03	1.077E-01	5.000E-03	2.598E-01	6.667E-03	3.997E-01	8.333E-03	5.372E-01
700	7.143E-04	9.878E-04	1.429E-03	1.303E-02	2.857E-03	1.114E-01	4.286E-03	2.688E-01	5.714E-03	4.134E-01	7.143E-03	5.511E-01
800	6.250E-04	1.014E-03	1.250E-03	1.338E-02	2.500E-03	1.143E-01	3.750E-03	2.759E-01	5.000E-03	4.244E-01	6.250E-03	5.621E-01
900	5.556E-04	1.141E-03	1.111E-03	1.505E-02	2.222E-03	1.287E-01	3.333E-03	3.106E-01	4.444E-03	4.777E-01	5.556E-03	6.047E-01
1000	5.000E-04	1.141E-03	1.000E-03	1.505E-02	2.000E-03	1.287E-01	3.000E-03	3.106E-01	4.000E-03	4.777E-01	5.000E-03	6.047E-01

จุฬาลงกรณ์มหาวิทยาลัย

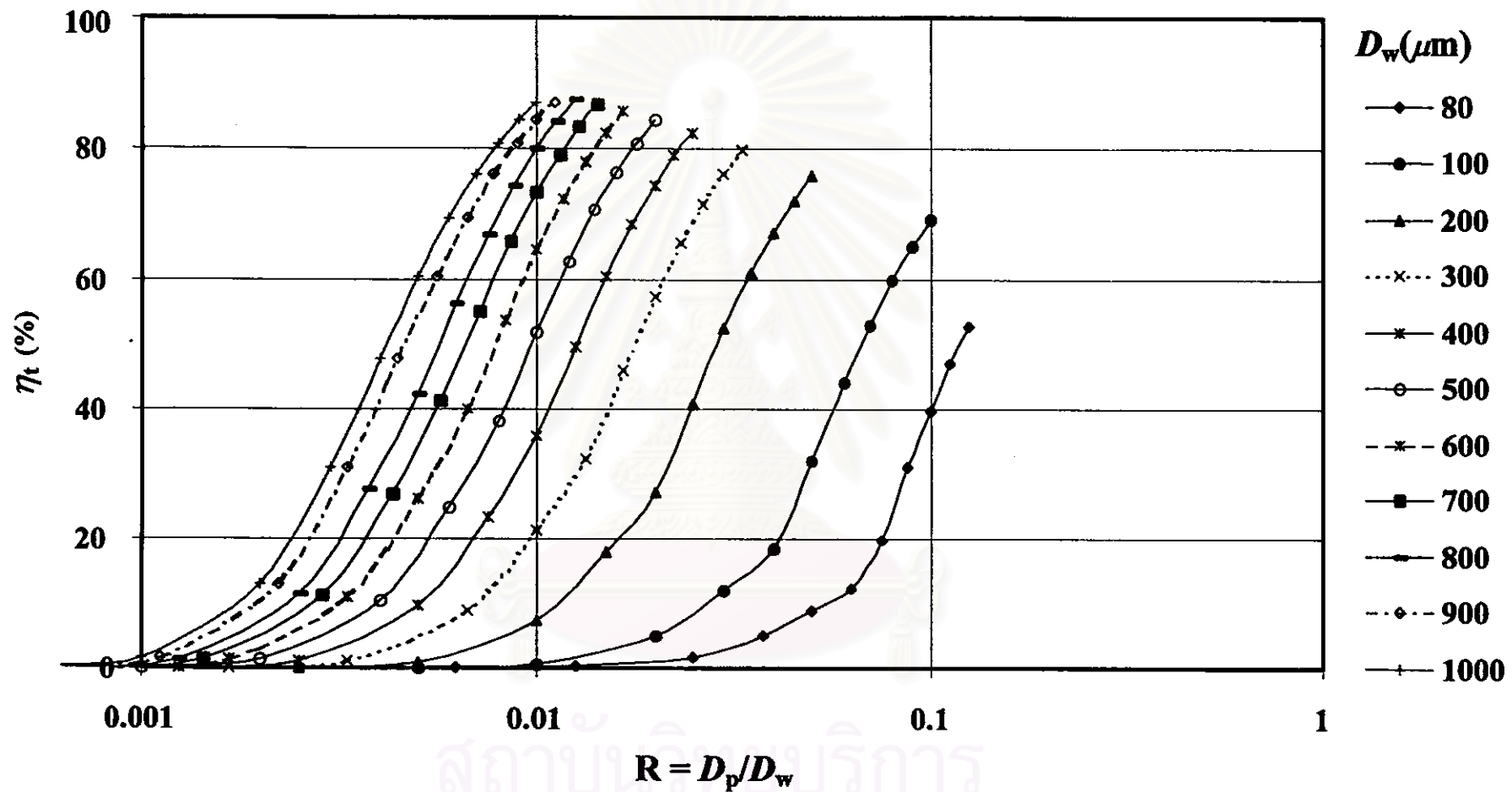
ตารางที่ 5.3 (ต่อ)

D_p D_w	6		7		8		9		10	
	R	η_t								
80	7.500E-02	1.958E-01	8.750E-02	3.100E-01	1.000E-01	3.990E-01	1.125E-01	4.697E-01	1.250E-01	5.269E-01
100	6.000E-02	4.417E-01	7.000E-02	5.310E-01	8.000E-02	5.986E-01	9.000E-02	6.511E-01	1.000E-01	6.929E-01
200	3.000E-02	5.248E-01	3.500E-02	6.094E-01	4.000E-02	6.729E-01	4.500E-02	7.218E-01	5.000E-02	7.602E-01
300	2.000E-02	5.734E-01	2.333E-02	6.553E-01	2.667E-02	7.164E-01	3.000E-02	7.631E-01	3.333E-02	7.996E-01
400	1.500E-02	6.054E-01	1.750E-02	6.855E-01	2.000E-02	7.450E-01	2.250E-02	7.903E-01	2.500E-02	8.255E-01
500	1.200E-02	6.279E-01	1.400E-02	7.068E-01	1.600E-02	7.652E-01	1.800E-02	8.095E-01	2.000E-02	8.438E-01
600	1.000E-02	6.448E-01	1.167E-02	7.226E-01	1.333E-02	7.802E-01	1.500E-02	8.238E-01	1.667E-02	8.574E-01
700	8.571E-03	6.577E-01	1.000E-02	7.349E-01	1.143E-02	7.918E-01	1.286E-02	8.348E-01	1.429E-02	8.679E-01
800	7.500E-03	6.681E-01	8.750E-03	7.447E-01	1.000E-02	8.011E-01	1.125E-02	8.436E-01	1.250E-02	8.759E-01
900	6.667E-03	6.960E-01	7.778E-03	7.615E-01	8.889E-03	8.091E-01	1.000E-02	8.444E-01	1.111E-02	8.710E-01
1000	6.000E-03	6.960E-01	7.000E-03	7.615E-01	8.000E-03	8.091E-01	9.000E-03	8.444E-01	1.000E-02	8.710E-01

สถาบันวิทยบรการ
จุฬาลงกรณ์มหาวิทยาลัย



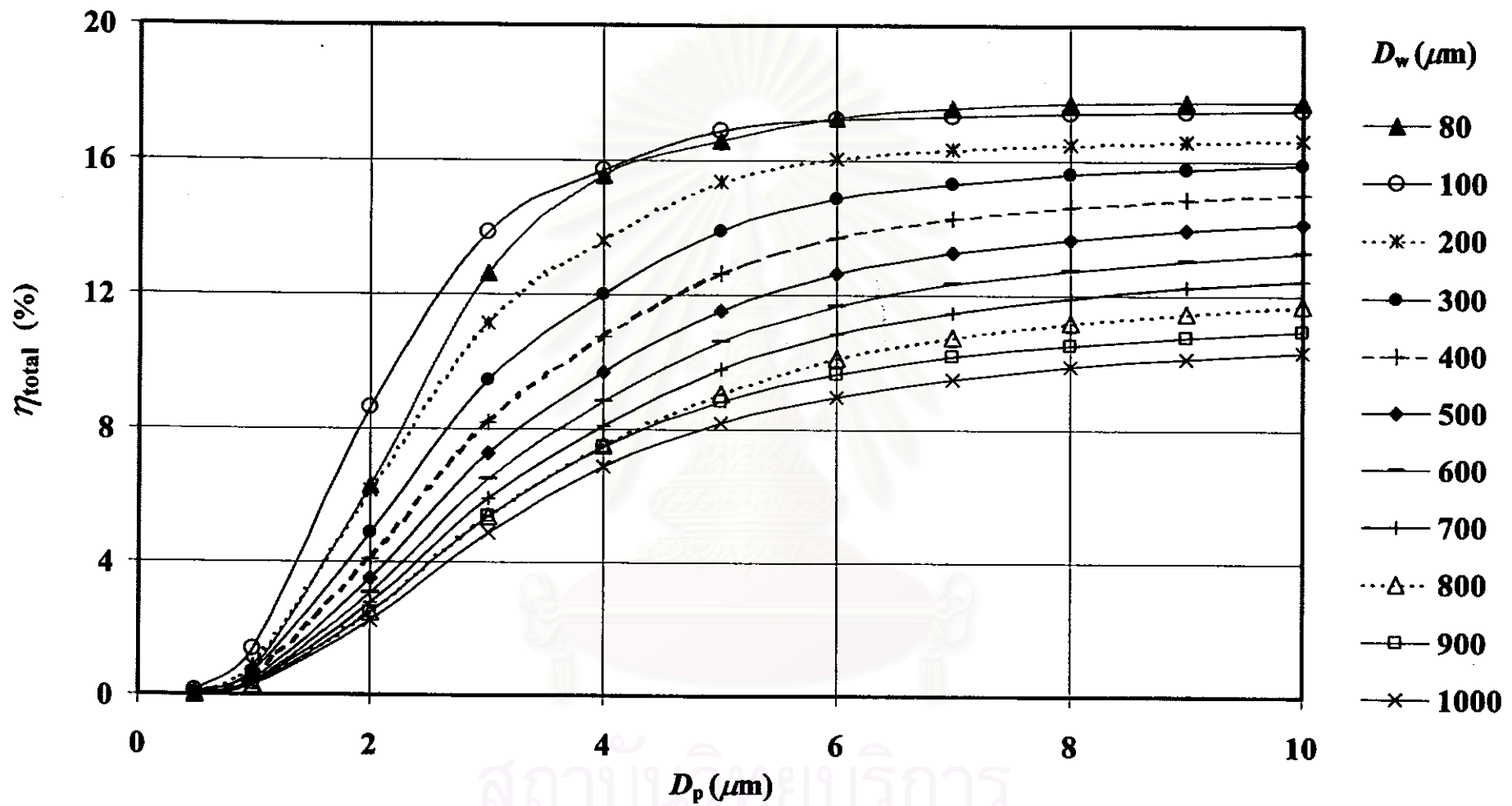
รูปที่ 5.2 กราฟแสดงความสัมพันธ์ระหว่างประสิทธิภาพการจับฝุ่นของหยดละอองน้ำ 1 หยด(η_t) กับขนาดของอนุภาคฝุ่น(D_p) และค่าพารามิเตอร์การสกัดกั้น(R)



รูปที่ 5.3 กราฟแสดงความสัมพันธ์ระหว่างประสิทธิภาพการจับฝุ่นของหยดละอองน้ำ 1 หยด(ก.) กับขนาดของหยดละอองน้ำ(D_w) และค่าพารามิเตอร์การสกัดกั้น(R)

ตารางที่ 5.4 แสดงข้อมูลผลการประเมินประสิทธิภาพรวมการจับคุณด้วยการซึ่ดหยดละของน้ำ (η_{total}) โดยขนาดหยดละของน้ำ (D_w) ที่พิจารณาอยู่ในช่วง 80 – 1000 ไมครอน และขนาดอนุภาคฝุ่น (D_p) ที่พิจารณาอยู่ในช่วง 0.5 – 10 ไมครอน

		$\eta_{total} (%)$										
D_w	D_p	80	100	200	300	400	500	600	700	800	900	1000
0.5	0.0514	0.0514	0.1068	0.0678	0.0513	0.0416	0.0350	0.0303	0.0267	0.0239	0.0238	0.0213
1	0.7185	0.7185	1.3556	0.8729	0.6646	0.5402	0.4561	0.3950	0.3486	0.3120	0.3110	0.2794
2	6.2689	6.2689	8.6064	6.1337	4.8866	4.0829	3.5126	3.0845	2.7505	2.4824	2.4751	2.2395
3	12.6585	12.6585	13.8452	11.1397	9.4249	8.1820	7.2309	6.4779	5.8667	5.3606	5.3465	4.8902
4	15.5819	15.5819	15.7085	13.6049	12.0135	10.7376	9.6936	8.8265	8.0968	7.4754	7.4575	6.8839
5	16.6017	16.6017	16.9093	15.3656	13.9185	12.6410	11.5388	10.5922	9.7771	9.0713	8.7862	8.1632
6	17.2904	17.2904	17.2164	16.0714	14.8732	13.7037	12.6339	11.6814	10.8414	10.1014	9.6176	8.9752
7	17.5872	17.5872	17.3419	16.3657	15.3484	14.2874	13.2716	12.3403	11.5024	10.7539	10.1566	9.5071
8	17.6905	17.6905	17.4142	16.5169	15.6180	14.6414	13.6744	12.7677	11.9391	11.1907	10.5210	9.8692
9	17.7397	17.7397	17.4617	16.6064	15.7863	14.8730	13.9457	13.0609	12.2427	11.4973	10.7770	10.1251
10	17.7664	17.7664	17.4951	16.6647	15.8992	15.0336	14.1378	13.2714	12.4627	11.7209	10.9630	10.3117



รูปที่ 5.4 กราฟแสดงความสัมพันธ์ระหว่างประสิทธิภาพการจับฝุ่นด้วยการฉีดหยดละอองน้ำ (η_{total}) กับขนาดของอนุภาคฝุ่น (D_p) และขนาดละอองน้ำ (D_w)

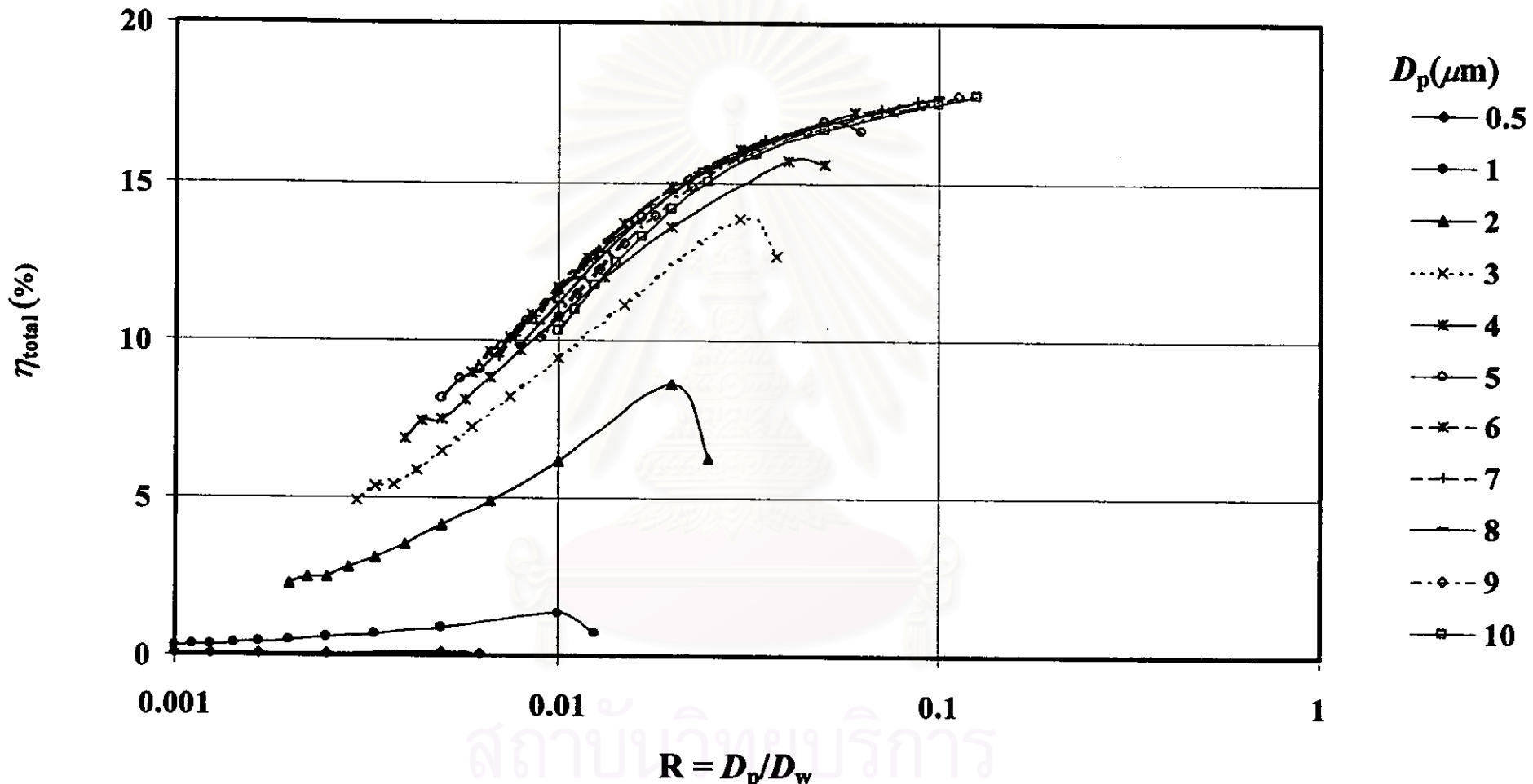
ตารางที่ 5.5 แสดงข้อมูลผลการประเมินประสิทธิภาพรวมการจับคุณตัวยการจัดน้ำด้วยคละของน้ำ (η_{total}) โดยขนาดหอดคละของน้ำ (D_w) ที่พิจารณาอยู่ในช่วง 80 – 1000 ไมครอน และขนาดอนุภาคผุ่น (D_p) ที่พิจารณาอยู่ในช่วง 0.5 – 10 ไมครอน กับค่าพารามิเตอร์การสกัดกั่น (Interception parameter, R)

D_p	0.5		1		2		3		4		5	
	D_w (μm)	R	η_{total} (%)	R								
80	6.25E-03	0.051425	0.0125	0.718451	0.0250	6.268899	0.0375	12.6585	0.0500	15.58187	0.0625	16.60171
100	5.00E-03	0.106839	0.0100	1.355585	0.0200	8.606389	0.0300	13.84521	0.0400	15.7085	0.0500	16.90933
200	2.50E-03	0.067847	0.0050	0.872871	0.0100	6.133652	0.0150	11.13971	0.0200	13.60486	0.0250	15.36563
300	1.67E-03	0.05135	0.0033	0.664587	0.0067	4.88665	0.0100	9.424948	0.0133	12.01353	0.0167	13.91849
400	1.25E-03	0.041589	0.0025	0.540184	0.0050	4.082888	0.0075	8.181983	0.0100	10.73763	0.0125	12.64103
500	1.00E-03	0.035028	0.0020	0.456065	0.0040	3.512588	0.0060	7.230867	0.0080	9.693573	0.0100	11.53878
600	8.33E-04	0.030286	0.0017	0.395015	0.0033	3.084516	0.0050	6.477926	0.0067	8.826467	0.0083	10.59222
700	7.14E-04	0.026689	0.0014	0.348561	0.0029	2.75054	0.0043	5.866722	0.0057	8.096798	0.0071	9.777147
800	6.25E-04	0.023863	0.0013	0.311975	0.0025	2.482373	0.0038	5.360627	0.0050	7.475445	0.0063	9.071318
900	5.56E-04	0.023788	0.0011	0.311005	0.0022	2.47513	0.0033	5.346517	0.0044	7.457549	0.0056	8.786161
1000	5.00E-04	0.021349	0.0010	0.279374	0.0020	2.239493	0.0030	4.890179	0.0040	6.883939	0.0050	8.16318

ตารางที่ 5.5 (ต่อ)

D_p D_w (μm)	6		7		8		9		10	
	R	η_{total} (%)								
80	0.0750	17.29042	0.0875	17.58723	0.1000	17.69046	0.1125	17.73973	0.1250	17.7664
100	0.0600	17.21635	0.0700	17.34189	0.0800	17.41424	0.0900	17.46173	0.1000	17.49515
200	0.0300	16.07143	0.0350	16.36574	0.0400	16.51691	0.0450	16.60636	0.0500	16.66473
300	0.0200	14.8732	0.0233	15.3484	0.0267	15.61798	0.0300	15.78629	0.0333	15.89917
400	0.0150	13.7037	0.0175	14.28739	0.0200	14.6414	0.0225	14.87298	0.0250	15.03355
500	0.0120	12.63389	0.0140	13.27161	0.0160	13.67441	0.0180	13.94566	0.0200	14.13775
600	0.0100	11.68143	0.0117	12.34032	0.0133	12.76765	0.0150	13.06087	0.0167	13.2714
700	0.0086	10.84135	0.0100	11.50244	0.0114	11.93913	0.0129	12.2427	0.0143	12.4627
800	0.0075	10.1014	0.0088	10.75389	0.0100	11.19073	0.0113	11.49727	0.0125	11.72092
900	0.0067	9.617614	0.0078	10.15662	0.0089	10.52096	0.0100	10.77697	0.0111	10.96302
1000	0.0060	8.975248	0.0070	9.50709	0.0080	9.869242	0.0090	10.12508	0.0100	10.31174

จุฬาลงกรณ์มหาวิทยาลัย



ภาพที่ 5.5 กราฟแสดงความสัมพันธ์ระหว่างประสิทธิภาพรวมการจับฝุ่นด้วยการอัดละอองน้ำ (η_{total}) กับขนาดของอนุภาคฝุ่น (D_p) และค่าพารามิเตอร์การถักกั้น (R)

5.1.2 วิจารณ์ผลกระทบเมื่อน้ำภาคฝุ่นที่พุ่งกระจายอยู่ในระบบ และหยดละอองน้ำที่ถูกพ่นออก จากหัวฉีดมีขนาดเดียว

จากกฎที่ 5.1

เนื่องจากการศึกษาหัวข้อ 5.1.1 มีการปรับเปลี่ยนขนาดทั้งของอนุภาคฝุ่นและหยดละอองน้ำที่อยู่ในระบบให้มีขนาดต่างๆ ดังนั้นการวิจารณ์จะแบ่งออกเป็น 2 กรณี ดังนี้คือ

- พิจารณากรณีหยดละอองน้ำที่ถูกพ่นออกจากหัวฉีดมีขนาดเท่ากันหมดจับอนุภาคฝุ่นที่มีขนาดแตกต่างกันจะพบว่าค่าประสิทธิภาพการจับฝุ่นของหยดละอองน้ำ 1 หยด (θ_1) มีค่าเพิ่มขึ้น เมื่อน้ำภาคฝุ่นมีขนาดใหญ่ขึ้น ทั้งนี้เนื่องมาจากการเมื่อพิจารณาสมการที่ใช้ในการคำนวนหาค่าพารามิเตอร์แรงเฉียบ(*Inertial parameter, ϕ*) และสมการที่ใช้ในการคำนวนหาค่า θ_1 (สมการ 2.1-2.4) จะพบว่าเมื่อค่าพารามิเตอร์แรงเฉียบมีค่าเพิ่มขึ้นขนาดของอนุภาคฝุ่นมีขนาดใหญ่ขึ้น ซึ่งมีผลทำให้ค่า θ_1 มีค่าเพิ่มขึ้นด้วย หมายความว่าหยดละอองน้ำจะจับอนุภาคฝุ่นขนาดใหญ่ได้ดีกว่าอนุภาคฝุ่นขนาดเล็ก แต่ทั้งนี้กลไกการจับอนุภาคฝุ่นที่มีขนาดเล็กมากจนออกจากกลไกการกระบทด้วยแรงเฉียบ(*Inertial impaction*)แล้วยังมีกลไกการแพร่ (Brownian Diffusion) ส่วนอนุภาคฝุ่นที่มีขนาดใกล้เคียงกับหยดละอองน้ำก็มีกลไกการสกัดกั้น (Interception)เข้ามาเกี่ยวข้องอีกด้วย แต่เนื่องจากสมการที่ใช้ในการคำนวนหาค่า θ_1 เป็นสมการที่ใช้หลักการของกลไกการกระบทด้วยแรงเฉียบเป็นสำคัญ เพาะจะนั้นทำให้สามารถนำไปใช้ได้จำกัดเฉพาะอนุภาคฝุ่นในช่วง 1 – 10 ไมครอนเท่านั้น
- พิจารณากรณีอนุภาคฝุ่นมีขนาดเท่ากันหมด แต่หยดละอองน้ำที่ใช้จับอนุภาคฝุ่นมีขนาดแตกต่างกัน จะแบ่งการพิจารณาออกเป็น 3 ช่วง

- ช่วงอนุภาคฝุ่นที่มีขนาด 0.5 – 9 ไมครอน ค่า θ_1 มีค่าเพิ่มขึ้นเมื่อยอดละอองน้ำมีขนาดใหญ่ขึ้น หยดละอองน้ำขนาดเล็กค่า θ_1 จะมีค่าต่ำ ทั้งนี้เนื่องมาจากการเมื่อยอดละอองน้ำขนาดเล็ก(<100 ไมครอน) ค่าความเร็วสัมพัทธ์ระหว่างหยดละอองน้ำกับอนุภาคฝุ่นมีค่าต่ำ มีผลทำให้พารามิเตอร์แรงเฉียบ(ϕ)มีค่าลดลง ประกอบกับการเคลื่อนที่ของหยดละอองน้ำในการจับฝุ่นเป็นแบบ Viscous flow ($Re<1$) ดังนั้นค่า θ_1 ที่คำนวนได้จึงมีค่าต่ำมาก

แต่เมื่อยอดละอองน้ำมีขนาดใหญ่ขึ้น (ช่วง 100 - 800 ไมครอน) ค่า θ_1 มีค่าเพิ่มขึ้นมากเมื่อเทียบกับหยดละอองน้ำขนาดเล็กๆ สาเหตุที่เป็นเช่นนี้ คือ นอกจากค่าความเร็วสัมพัทธ์ระหว่างหยดละอองน้ำกับอนุภาคฝุ่นจะมีค่าเพิ่มขึ้นมาก การเคลื่อนที่ของหยดละอองน้ำในการจับอนุภาคฝุ่นยังอยู่ในช่วงระหว่าง Viscous flow กับ potential flow ($2 < Re < 500$) ซึ่งสมการที่ใช้การคำนวนหาค่า

ก) จะขึ้นอยู่กับค่าความเร็วสัมพัทธ์ระหว่างหยดละของน้ำกับอนุภาคฝุ่น แต่เมื่อยดละของน้ำมีขนาดใหญ่ ($900 - 1000$ ไมครอน) ถึงแม้ว่าค่าความเร็วสัมพัทธ์ระหว่างหยดละของน้ำกับอนุภาคฝุ่น จะมีค่าเพิ่มขึ้นแต่ก็ไม่มีผลต่อค่าพารามิเตอร์แรงดึงดูดค่า ก) เพราะการเคลื่อนที่ของหยดละของน้ำในการจับอนุภาคฝุ่นยังอยู่ในช่วง Potential flow ดังนั้นค่า ก) ของหยดละของน้ำขนาด $900 - 100$ ไมครอน จึงมีค่าคงที่

- ช่วงอนุภาคฝุ่นที่มีขนาด 10 ไมครอน เมื่อยดละของน้ำมีขนาดเล็กค่า ก) จะมีค่าต่ำและมีค่าเพิ่มขึ้นเมื่อยดละของน้ำมีขนาดใหญ่ขึ้นเดียวกับช่วงอนุภาคฝุ่นมีขนาด $0.5 - 9$ ไมครอน แต่ค่า ก) มีค่าสูงสุดเมื่อยดละของน้ำมีขนาด 800 ไมครอน และมีค่าลดต่ำลงเมื่อยดละของน้ำขนาดใหญ่ขึ้น สาเหตุที่ช่วงอนุภาคฝุ่นขนาดใหญ่ (10 ไมครอน) ขนาดหยดละของน้ำที่ให้ค่า ก) สูงสุดไม่ใช่หยดละของน้ำที่มีขนาดใหญ่ $900 - 1000$ ไมครอน เนื่องจากอนุภาคฝุ่นขนาด $0.5 - 9$ ไมครอน หั้นนี้เนื่องจากเมื่ออนุภาคฝุ่นมีขนาดใหญ่กว่า 10 ไมครอน สามารถจับอนุภาคฝุ่นได้ดีขึ้น (ดูรายละเอียดเพิ่มเติมจากกฎที่ 5.2)

หมายเหตุ สาเหตุที่ทำให้การศึกษาขนาดหยดละของน้ำในช่วง 80 ไมครอน ขึ้นไป เนื่องมาจากการสภาวะแสวงดังตารางที่ 5.1 สมการที่ใช้คำนวนค่า ก) (สมการ 2.1 - 2.4) สำหรับหยดละของน้ำมีขนาดเล็กกว่า 80 ไมครอน ค่า ก) จะมีค่าเท่ากับศูนย์ ซึ่งมีผลทำให้ค่าประสิทธิภาพรวมการจับฝุ่นด้วยหยดละของน้ำ (Γ_{total}) มีค่าเป็นศูนย์ด้วย นั่นคือ หยดละของน้ำไม่สามารถจับอนุภาคฝุ่นได้เลยถึงแม้ว่าค่าพารามิเตอร์การสกัดกั้น (R) จะมีค่าเพิ่มขึ้นแต่ก็ไม่สามารถทดแทนค่าพารามิเตอร์แรงดึงดูด(β)ที่มีค่าต่ำมากได้ จึงทำให้ค่า ก) มีค่าเท่ากับศูนย์

จากกฎที่ 5.2 และ 5.3

การวิเคราะห์จะแบ่งออกเป็น 2 กรณีดังนี้ คือ

- พิจารณาอยิพถ่องพารามิเตอร์การสกัดกั้น (R) ที่มีการเปลี่ยนแปลงโดยสาเหตุที่จะทำให้ค่า R มีการเปลี่ยนแปลงมี 2 กรณี ดังนี้คือ
 - กรณีอนุภาคฝุ่นมีขนาดคงที่ แต่หยดละของน้ำมีขนาดเปลี่ยนแปลง(กฎที่ 5.3) พบว่าเมื่อ R มีค่าเพิ่มขึ้น ค่า ก) มีค่าลดลง

เนื่องจาก $R = D_p/D_w$ ดังนั้นค่า R จะมีค่าเพิ่มขึ้นด้านหยดละของน้ำมีขนาดเล็กลง แต่ค่าความเร็วสัมพัทธ์ (U_R) ระหว่างหยดละของน้ำกับอนุภาคฝุ่นก็จะลดลง ค่า ก) จึงมีค่าลดลงด้วย(ดังที่ได้อธิบายไว้แล้วในกฎที่ 5.1) กรณีพิจารณาอนุภาคฝุ่นขนาดเดียวกัน แต่หยดละของน้ำที่ใช้จับฝุ่นมี

ขนาดต่างกัน โดยเฉพาะกรณีที่หยดละของน้ำมีขนาดเล็กมากๆ ถึงแม้ค่า R จะมีค่าสูง แต่ U_R มีค่าต่ำ ส่งผลให้ φ จะมีค่าต่ำด้วย) แสดงว่าเมื่อยอดคละของน้ำกับอนุภาคผุนยิ่งมีขนาดใกล้เคียงกันมากขึ้นอิทธิพลของการเคลื่อนที่แบบการตกตัน (Direct Interception) มีผลต่อการจับผุนมากกว่ากลไกการกระแทกด้วยแรงเชื้อโยย แต่ค่า R ที่เพิ่มขึ้นก็ยังไม่สามารถไปทดแทน inertial parameter ที่มีค่าต่ำมากเมื่อยอดคละของน้ำมีขนาดเล็กๆ ได้ ดังนั้น ทุกจังหวงมีค่าน้อยมาก

- กรณีหยดละของน้ำที่ใช้จับอนุภาคผุนมีขนาดคงที่ แต่อนุภาคผุนมีขนาดเปลี่ยนแปลง(รูปที่ 5.3) ในกรณีนี้ R จะมีค่าเพิ่มขึ้นเมื่อยอดคละของน้ำกับอนุภาคผุนมีขนาดใหญ่ขึ้น จากกราฟพบว่าค่า θ มีค่าเพิ่มขึ้นเมื่อ R มีค่าเพิ่มขึ้นหรืออนุภาคผุนมีขนาดใหญ่ขึ้น แสดงว่าเมื่อยอดคละของน้ำมีขนาดใหญ่ขึ้นกลไกการจับผุนที่สำคัญนอกจากการกระแทกด้วยแรงเชื้อโยย (Inertial Impaction) แล้ว กลไกการจับผุนแบบการตกตัน(Direct Interception) ก็มีอิทธิพลต่อค่า θ ด้วย

- พิจารณากรณีค่า R คงที่

นั่นคือถ้าอนุภาคผุนมีขนาดใหญ่ขึ้น หยดละของน้ำที่ใช้จับอนุภาคผุนก็ต้องมีขนาดใหญ่ขึ้นด้วย การพิจารณาค่า θ โดยกำหนดให้ R คงที่จะทำให้เราทราบว่าที่ R เดียวกัน กลไกการจับผุนแบบการกระแทกด้วยแรงเชื้อโยยมีผลอย่างไรต่อค่า θ โดยการพิจารณาจะแบ่งออกเป็น 2 กรณี คือ

- กรณีที่ $R < 0.1$

กรณีนี้ค่า R มีค่าน้อยมาก ดังนั้นค่า φ จะมีความสำคัญต่อค่า θ มากกว่าค่า R

- กรณีที่ $R > 0.1$

กรณีนี้ค่า R จะมีอิทธิพลต่อค่า θ เช่นเดียวกับค่า φ แต่ R ที่เพิ่มขึ้นก็ยังไม่สามารถไปชดเชยค่า φ ที่มีค่าต่ำลงได้ทำให้ θ จึงยังคงมีค่าต่ำลง

จากรูปที่ 5.2-3 พิจารณาที่ R คงที่ จะพบว่าค่า θ มีค่าเพิ่มขึ้น เมื่อยอดคละผุนและหยดละของน้ำมีขนาดใหญ่ขึ้น แต่เมื่อยอดคละผุนและหยดละของน้ำมีขนาดใหญ่ขึ้นค่า θ ที่เพิ่มขึ้นกลับเพิ่มขึ้นไม่มาก สิ่งนี้แสดงให้เห็นว่าถ้าอนุภาคผุนและหยดละของน้ำมีขนาดใหญ่ขึ้นกลไกการกระแทกด้วยแรงเชื้อโยยจะมีผลต่อการกำจัดอนุภาคผุนด้วยหยดละของน้ำลดลง

จากรูปที่ 5.4

- พิจารณากรณีหัวฉีดอีดหยดละของน้ำขนาดเดียวกันจับอนุภาคผุนที่มีขนาดแตกต่างกันจะพบว่าประสิทธิภาพรวมการจับผุนด้วยหยดละของน้ำ (θ_{total}) มีค่าเพิ่มขึ้นเมื่อยอดคละของน้ำมีขนาดใหญ่ขึ้น สาเหตุเนื่องมาจากการ θ มีค่าเพิ่มขึ้นเมื่อยอดคละของน้ำมีขนาดใหญ่ขึ้นซึ่งได้อธิบายรายละเอียดไว้

แล้วในรูปที่ 5.1 และจากสมการที่ให้ไว้ในการคำนวณหาประสิทธิภาพในการจับผู้น้ำด้วยหยดละของน้ำ เมื่อยดละของน้ำมีขนาดเดียวกันจะพบว่าถ้าค่า θ_w เพิ่ม ปริมาณอนุภาคผุนที่กำจัดได้ (Δq) จะมีค่าเพิ่มขึ้น ส่งผลให้ $\theta_{w\text{opt}}$ มีค่าเพิ่มขึ้นด้วย

- พิจารณากรณีอนุภาคผุนขนาดเดียวกันแต่หยดละของน้ำที่ใช้ในการจับอนุภาคผุนมีขนาดแตกต่างกัน จะแบ่งการพิจารณาออกเป็น 2 ส่วน
 - ช่วงอนุภาคผุนที่มีขนาด 7 – 10 ไมครอน จะพบว่าค่า $\theta_{w\text{opt}}$ มีค่าเพิ่มขึ้นเมื่อยดละของน้ำมีขนาดเล็กลง

จากรูปที่ 5.1 ถึงแม้ว่าค่า θ_w จะมีค่าเพิ่มขึ้นเมื่อยดละของน้ำมีขนาดใหญ่ขึ้น แต่ค่า θ_w ที่เพิ่มขึ้นนี้มีค่าไม่แตกต่างกันมากนักเมื่อยดละของน้ำมีขนาดเปลี่ยนแปลงไป ดังนั้นผลของค่า θ_w ที่เพิ่มขึ้นนี้จึงมีผลต่อ $\theta_{w\text{opt}}$ ไม่มากนัก และเนื่องจากการกำหนดให้อัตราการไหลของหยดละของน้ำที่ออกจากหัวฉีดมีค่าคงที่ ดังนั้นจำนวนหยดละของน้ำที่ถอยอยู่ในปริมาตรควบคุมจึงเพิ่มขึ้นเมื่อยดละของน้ำมีขนาดเล็กลง (จำนวนหยดละของน้ำ แปลงผันกับ D_w^3) มีผลทำให้ปริมาณอนุภาคผุนที่ถูกจับด้วยหยดละของน้ำเพิ่มมากขึ้น ปริมาณอนุภาคผุนที่กำจัดได้และประสิทธิภาพการจับผุนจึงมีค่าสูงด้วย แต่ทั้งนี้ต้องไม่ลืมคำนึงถึงว่าหยดละของน้ำที่มีขนาดเล็กเกินไปอาจปิดไปกับกระแสน้ำ จากสิ่งแวดล้อมที่พัดผ่านเข้ามาในระบบควบคุม

- ช่วงอนุภาคผุนที่มีขนาด 0.5 – 6 ไมครอน จะพบว่าค่า $\theta_{w\text{opt}}$ มีค่าเพิ่มขึ้นเมื่อยดละของน้ำมีขนาดเล็กลง แต่หยดละของน้ำขนาด 100 ไมครอน จะให้ประสิทธิภาพสูงสุด สาเหตุที่เป็นเช่นนี้เนื่องมาจากการอนุภาคผุนช่วง 0.5 – 6 ไมครอน นอกจากจำนวนหยดละของน้ำที่ถอยอยู่ในปริมาตรควบคุม จะมีความสำคัญแล้ว แต่ค่า θ_w ก็มีความสำคัญกับการคำนวณค่า $\theta_{w\text{opt}}$ มากกว่าช่วงอนุภาคผุนขนาดใหญ่ ด้วยเหตุนี้เองจึงทำให้อนุภาคผุนช่วง 0.5 – 6 ไมครอน ขนาดหยดละของน้ำที่ให้ประสิทธิภาพสูงสุดไม่ใช่หยดละของน้ำขนาด 80 ไมครอน

จากที่ 5.5

ในการศึกษาเรื่องความสามารถพยากรณ์ได้ร่วมประสิทธิภาพรวมการจับผุนด้วยการฉีดหยดละของน้ำจะมีค่าสูงเมื่อค่า R ($R = D_p/D_w$) มีค่าประมาณ 0.1 แต่อนุภาคผุนที่พิจารณาต้องมีขนาดตั้งแต่ 4 ไมครอน ขึ้นไป

5.1.3 กรณีอนุภาคผู้น้ำที่ทุ่งกรະชาดอยู่ในระบบ และหมายดลละของน้ำที่ถูกพ่นออกจากหัวฉีดมีกรະชาดขนาด

กรณีอนุภาคผู้น้ำที่ทุ่งกรະชาดอยู่ในระบบและหมายดลละของน้ำที่ถูกพ่นออกจากหัวฉีดมีกรະชาดขนาด แบ่งการศึกษาออกเป็น 2 ส่วน ดังนี้ คือ

- เปรียบเทียบประสิทธิภาพรวมการจับผู้น้ำด้วยการฉีดหมายดลละของน้ำของหัวฉีดต่างประเทศ
- เปรียบเทียบการใช้ช้อมูลการกรະชาดขนาดของหมายดลละของน้ำและอนุภาคผู้น้ำ กับขนาดเฉลี่ย

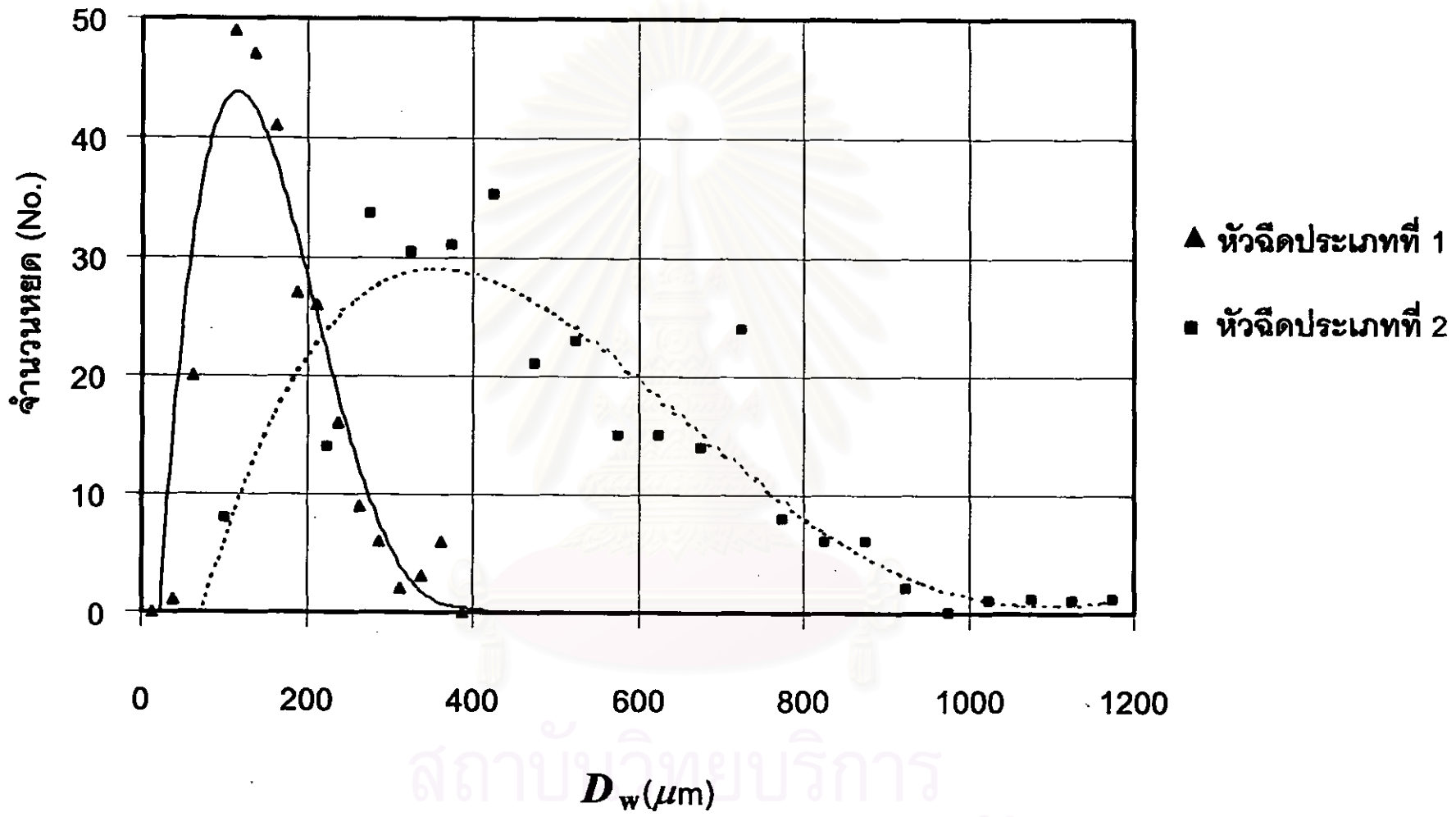
โดยสภาวะของระบบกำจัดผู้น้ำด้วยการฉีดหมายดลละของน้ำสำหรับการศึกษาระบบมีการกรະชาดขนาดของหมายดลละของน้ำและอนุภาคผู้น้ำเป็นสภาวะเช่นเดียวกับที่แสดงดังตารางที่ 5.1 เพื่อให้การศึกษาเป็นไปอย่างต่อเนื่อง

5.1.3.1 เปรียบเทียบประสิทธิภาพรวมการจับผู้น้ำด้วยการฉีดหมายดลละของน้ำของหัวฉีดต่างประเทศ

การเปรียบเทียบประสิทธิภาพรวมการจับผู้น้ำด้วยการฉีดหมายดลละของน้ำ (η_{total}) ของหัวฉีดแต่ละประเทศซึ่งมีการกรະชาดขนาดของหมายดลละของน้ำที่ถูกพ่นออกจากหัวฉีดแตกต่างกัน แสดงดังตารางที่ 5.6 โดยรูปที่ 5.6 แสดงช้อมูลการกรະชาดขนาดของหมายดลละของน้ำที่ถูกพ่นออกจากหัวฉีดที่เลือกใช้ซึ่งมี 2 ชนิด คือหัวฉีดประเทศที่ 1 และหัวฉีดประเทศที่ 2 (ดูรายละเอียดการกรະชาดขนาดจากภาคผนวก ๑) ส่วนช้อมูลการกรະชาดขนาดของอนุภาคผู้น้ำที่ทุ่งอยู่ในระบบอ้างอิงจากอุปกรณ์ปากโน้ต 2 ของโรงโน้ตินแห่งที่ 2 (ดูรายละเอียดการกรະชาดขนาดจากภาคผนวก ๔.2.2) ซึ่งในหัวฉ้อนนี้จะเรียกว่า แบบ ก

ตารางที่ 5.6 แสดงการเปรียบเทียบประสิทธิภาพรวมของการจับผู้น้ำด้วยการฉีดหมายดลละของน้ำ (η_{total}) เมื่อใช้หัวฉีดแต่ละประเทศซึ่งมีการกรະชาดขนาดของหมายดลละของน้ำที่แตกต่างกัน

รูปแบบ อนุภาคผู้น้ำ	η_{total} (%)	
	หัวฉีดประเทศที่ 1	หัวฉีดประเทศที่ 2
รูปแบบ ก	23.25	14.67



รูปที่ 5.6 แสดงข้อมูลการกรวยขนาดของน้ำที่ถูกหันออกจากหัวฉีดประเภทที่ 1 และหัวฉีดประเภทที่ 2

ส่วนการเปรียบเทียบประสิทธิภาพรวมของการจับผู้น้ำด้วยการจัดหนี้ต่อไปนี้ของน้ำภาคผู้น้ำปูแบบการกระจายขนาดแบบอื่นๆ จะนำเสนอเพิ่มเติมในหัวข้อต่อไป

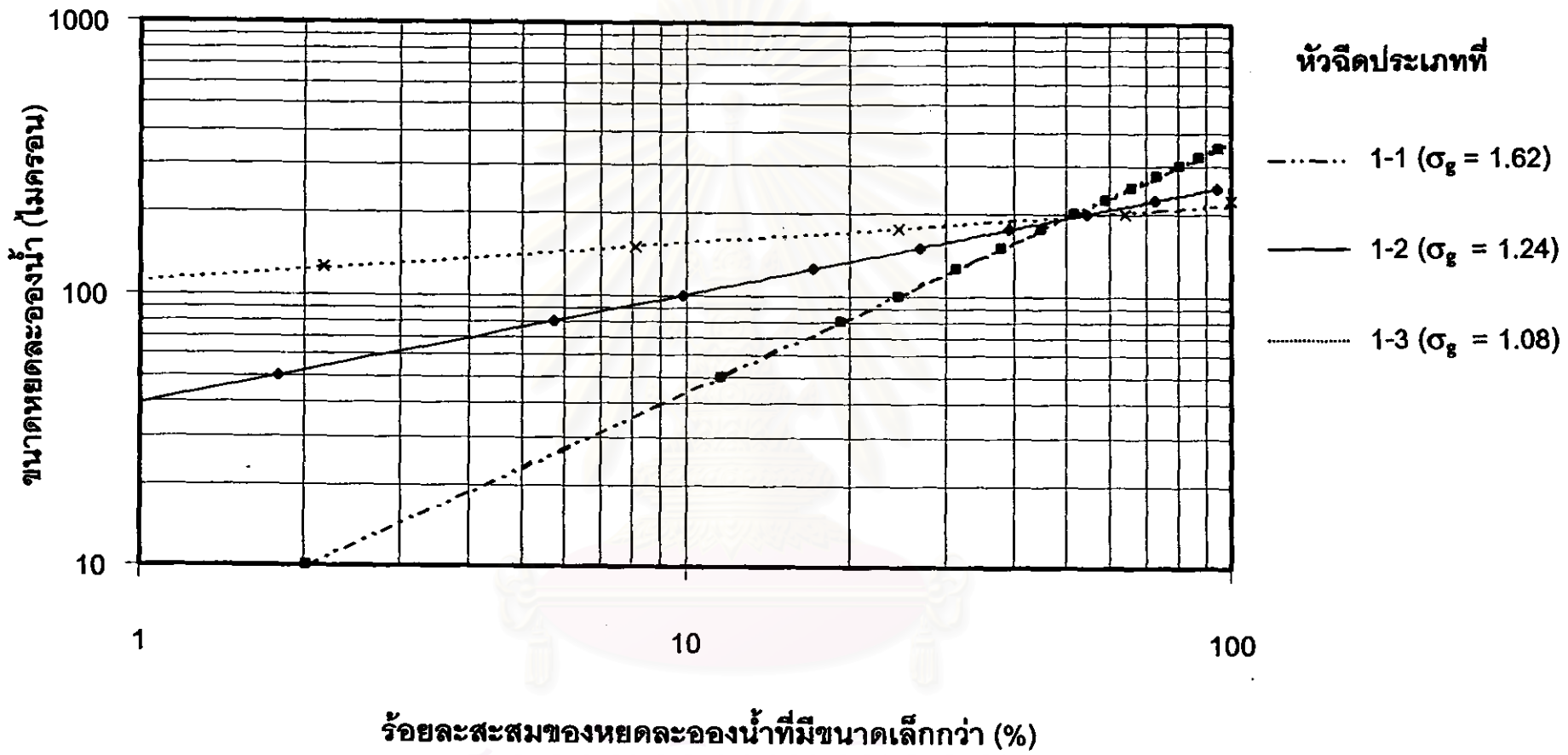
5.1.3.2 เปรียบเทียบการใช้ช้อมูลการกระจายขนาดของหนี้ต่อไปน้ำและอนุภาคผู้น้ำกับขนาดเฉลี่ย

ในอดีตการคำนวณหาประสิทธิภาพรวมของการจับผู้น้ำด้วยการจัดหนี้ต่อไปน้ำเพื่อกำจัดผู้น้ำทั้งในระบบปิดหรือในระบบที่เปิดคง ขนาดของหนี้ต่อไปน้ำและขนาดของอนุภาคผู้น้ำที่แทนลงในสมการมักนิยมใช้ขนาดเฉลี่ย ซึ่งในความเป็นจริงการใช้ขนาดเฉลี่ยจะส่งผลให้การประมาณค่าประสิทธิภาพการกำจัดผู้น้ำคลาดเคลื่อนดังที่จะนำเสนอต่อไป โดยช้อมูลการกระจายขนาดของหนี้ต่อไปน้ำที่เลือกใช้ คือ ช้อมูลการกระจายขนาดของหนี้ต่อไปน้ำที่ถูกพันออกจากการหัวจัดประปาที่ 1 และช้อมูลการกระจายขนาดของอนุภาคผู้น้ำเป็นรูปแบบเดียวกับหัวข้อ 5.1.3.1 คือรูปแบบ ก

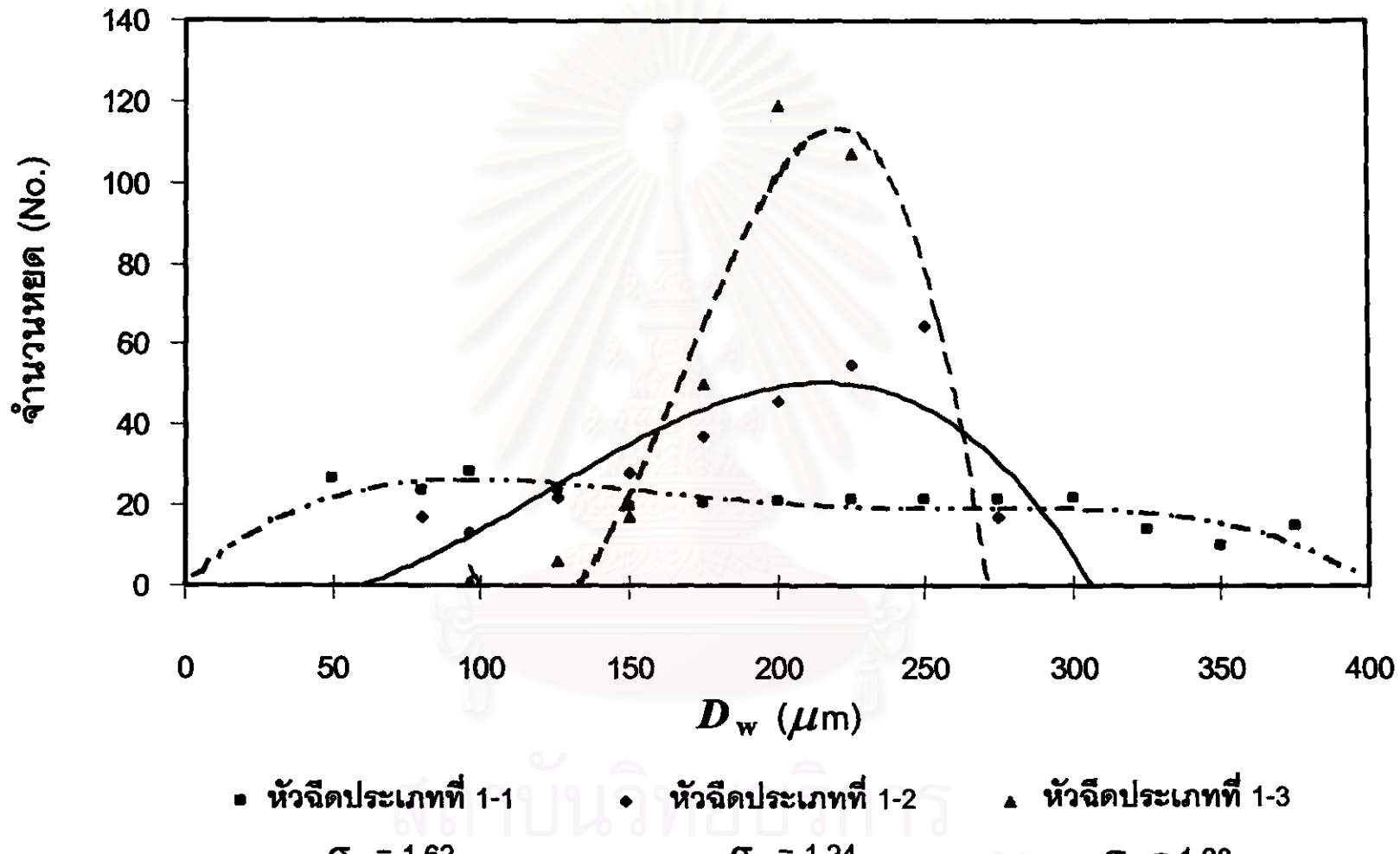
นอกจากแสดงให้เห็นความแตกต่างของกรณีขนาดเฉลี่ยกับการนำช้อมูลการกระจายขนาดจริงของหนี้ต่อไปน้ำและอนุภาคผู้น้ำมาใช้ในการคำนวณหาประสิทธิภาพรวมของการกำจัดผู้น้ำด้วยการจัดหนี้ต่อไปน้ำแล้ว การเลือกหัวจัดให้เหมาะสมกับขนาดของอนุภาคผู้น้ำที่เข้ามาในระบบก็เป็นอีกประเด็นหนึ่งที่ต้องพิจารณา ดังนั้นในหัวข้อนี้นอกจากศึกษาผลการกระจายขนาดของหนี้ต่อไปน้ำที่ถูกพันออกจากการหัวจัดประปาที่ 1 และได้มีการสมมติหัวจัดเพิ่มเติมอีก 3 ประปาท คือ หัวจัดประปาที่ 1-1 หัวจัดประปาที่ 1-2 และหัวจัดประปาที่ 1-3 โดยตารางที่ 5.7 แสดงช้อมูลการกระจายขนาดของหนี้ต่อไปน้ำที่ถูกพันออกจากการหัวจัดทั้ง 3 ประปานี้สมมติขึ้น ซึ่งหัวจัดแต่ละประปางจะมีการกระจายขนาดของหนี้ต่อไปน้ำที่แตกต่างกันไป แต่มีขนาดหนี้ต่อไปน้ำเฉลี่ย (\bar{D}_w) เท่ากันกับขนาดหนี้ต่อไปน้ำเฉลี่ยของหัวจัดประปาที่ 1 ส่วนกราฟความสัมพันธ์ระหว่างขนาดของหนี้ต่อไปน้ำ (D_w) กับร้อยละสะสมของหนี้ต่อไปน้ำที่มีขนาดเล็กกว่าของหัวจัดทั้งสามประปางดังกล่าวนั้นได้แสดงไว้ในรูปที่ 5.7 ส่วนรูปที่ 5.8 แสดงการกระจายขนาดของหนี้ต่อไปน้ำที่ถูกพันออกจากการหัวจัดทั้งสามประปางดังกล่าว

ตารางที่ 5.7 แสดงร้อยละการกระจายขนาดของหินที่ถูกพ่นออกจากการหัวฉีดประเภทที่ 1-1, 1-2 และ 1-3 ตามลำดับ

ช่วงขนาดหิน ละอองน้ำ (μm)	ค่ากลาง (μm)	หัวฉีดประเภทที่ 1-1			หัวฉีดประเภทที่ 1-2			หัวฉีดประเภทที่ 1-3		
		จำนวนหยด (No.Δg)	จำนวนหยด สะสม	ร้อยละ (%)	จำนวนหยด (No.Δg)	จำนวนหยด สะสม	ร้อยละ (%)	จำนวนหยด (No.Δg)	จำนวนหยด สะสม	ร้อยละ (%)
< 80	80	58	58	19.28	17	17	5.72	-	-	-
80 – 113	100	16	74	24.54	13	30	9.90	1	1	0.44
113 – 137	125	20	94	31.24	22	51	17.14	6	7	2.18
137 – 163	150	20	114	38.04	29	81	26.84	17	24	8.10
163 – 187	175	21	135	44.94	37	118	39.23	50	74	24.58
187 – 213	200	21	156	51.92	46	163	54.48	119	193	64.29
213 – 237	225	21	177	58.98	55	218	72.80	107	300	100.00
237 – 263	250	21	198	66.09	65	283	94.35	-	-	-
263 – 287	275	22	220	73.27	17	300	100.00	-	-	-
287 – 313	300	22	241	80.50	-	-	-	-	-	-
313 – 337	325	22	263	87.77	-	-	-	-	-	-
337 – 375	350	22	285	95.10	-	-	-	-	-	-
> 375	375	15	300	100.00	-	-	-	-	-	-
รวมจำนวนหยด		300			300			300		
ขนาดหยดเฉลี่ย (\bar{D}_w , มิลลิเมตร)		193.14			193.14			193.14		
ความแปรปรวน (σ_g)		1.62			1.24			1.08		



รูปที่ 5.7 กราฟแสดงความสัมพันธ์ระหว่างขนาดของหยดละอองน้ำ (D_w) กับร้อยละสะสมของหยดละอองน้ำที่มีขนาดเล็กกว่าของหัวจีดประเภทที่ 1-1, 1-2 และ 1-3 ซึ่งมีขนาดหยดละอองน้ำเฉลี่ย (\bar{D}_w) เท่ากับ 193.14 ไมครอน



รูปที่ 5.8 แสดงรูปการกราฟขนาดของคละของน้ำที่ถูกพ่นออกจากหัวจีดประเภทที่ 1-1, 1-2 และ 1-3 ซึ่งมีขนาดหมายคละของน้ำเฉลี่ย (\bar{D}_w) เท่ากับ 193.14 ไมครอน

จากรูปที่ 5.7-5.8 แสดงการกระจายขนาดของหยดละของน้ำที่ถูกพ่นออกจากหัวฉีดที่สมมติทั้ง 3 ประเภท คือ หัวฉีดประเภทที่ 1-1, หัวฉีดประเภทที่ 1-2 และหัวฉีดประเภทที่ 1-3 พบว่า

หัวฉีดประเภทที่ 1-1 ขนาดหยดละของน้ำที่ถูกพ่นออกจากหัวฉีดมีขนาดแตกต่างกันมาก มีทั้งขนาดเล็กและขนาดใหญ่ปะปนกัน โดยที่ $\sigma = 1.62$ แต่หากพิจารณาเทียบจำนวนหยดละของน้ำขนาดเล็ก (< 150 ไมครอน) และหยดละของน้ำขนาดใหญ่ (> 300 ไมครอน) จะมีจำนวนมากกว่าหัวฉีดประเภทที่ 1-2 และ 1-3

หัวฉีดประเภทที่ 1-2 ขนาดหยดละของน้ำที่ถูกพ่นออกจากหัวฉีดมีขนาดแตกต่างกันโดยที่ $\sigma = 1.24$ และหยดละของน้ำส่วนใหญ่มีขนาดประมาณ $100 - 250$ ไมครอน

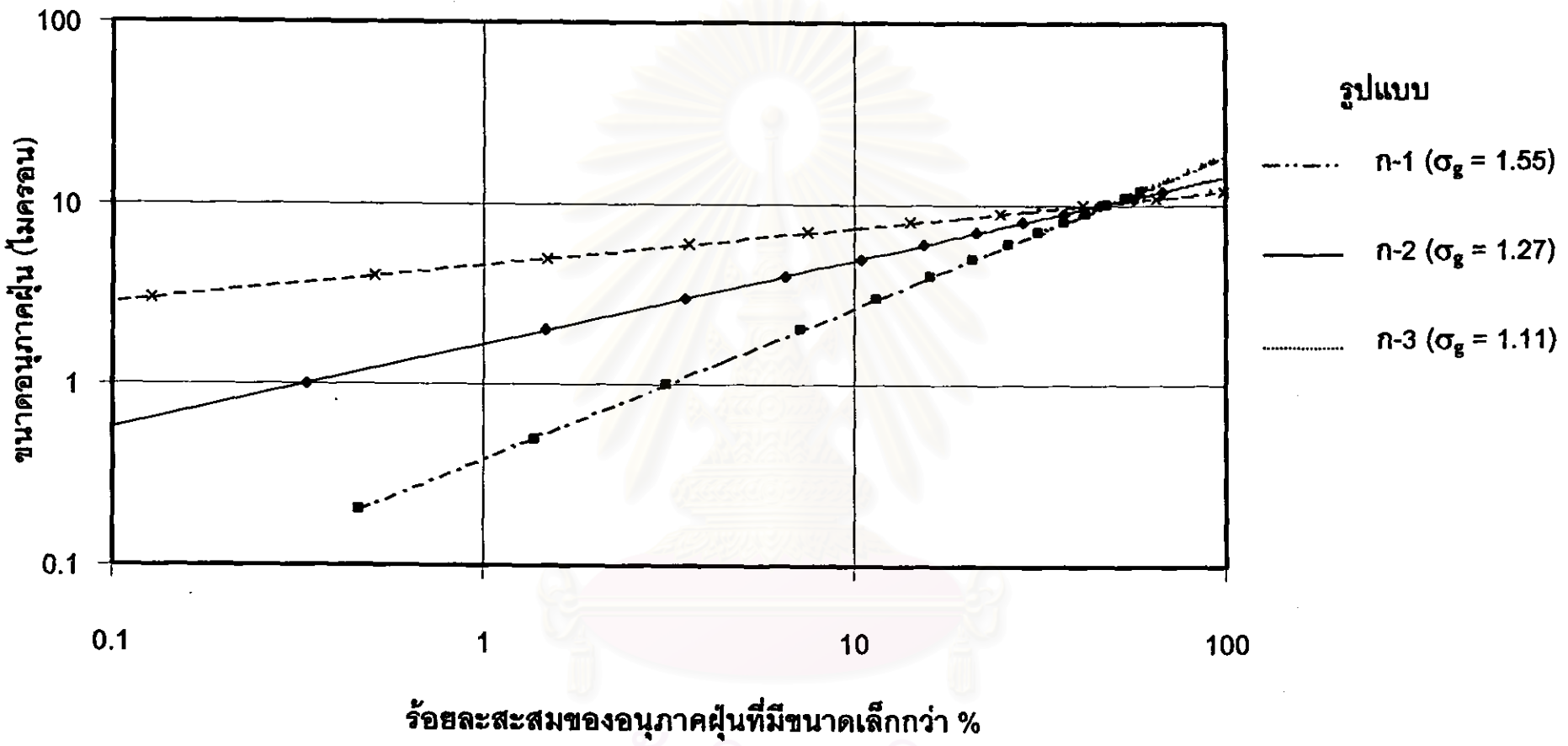
หัวฉีดประเภทที่ 1-3 ขนาดหยดละของน้ำที่ถูกพ่นออกจากหัวฉีดมีขนาดค่อนข้างใกล้เคียงกันมากกว่าเมื่อเทียบกับหัวฉีดประเภทที่ 1-1 และ 1-2 โดยที่ $\sigma = 1.08$ และหยดละของน้ำส่วนใหญ่มีขนาด $175 - 225$ ไมครอน

และเพื่อให้การศึกษาผลการกระจายขนาดของหยดละของน้ำและอนุภาคฝุ่นมีความสมบูรณ์มากยิ่งขึ้น ตั้งนั้นนอกจากน้ำข้อมูลการกระจายขนาดจริงของอนุภาคฝุ่นที่ได้จากการสำรวจเชิง (กมศ ถนนพวรรณ, 2540) มาใช้ค่าวนวนหาปะเสธที่ภาพรวมการจับฝุ่นด้วยหยดละของน้ำแล้ว การศึกษาหัวฉ้อนนี้ยังได้มีการสมมติการกระจายขนาดของอนุภาคฝุ่นเพิ่มขึ้นอีก 3 รูปแบบด้วยเช่นกัน คือ รูปแบบ ก-1, รูปแบบ ก-2 และรูปแบบ ก-3 ซึ่งแต่ละรูปแบบจะมีลักษณะการกระจายขนาดที่แตกต่างกัน แต่เมื่อพิจารณาขนาดอนุภาคฝุ่นเฉลี่ย (D_p) จะมีค่าเท่ากันกับขนาดอนุภาคฝุ่นเฉลี่ยของรูปแบบ ก โดยตารางที่ 5.8 แสดงข้อมูลการกระจายขนาดของอนุภาคฝุ่นทั้ง 3 รูปแบบ และรูปที่ 5.7 แสดงกราฟความสัมพันธ์ระหว่างขนาดอนุภาคฝุ่น (D_p) กับร้อยละสมรรถนะของอนุภาคฝุ่นที่มีขนาดเล็กกว่าของอนุภาคฝุ่นทั้ง 3 รูปแบบ และรูปที่ 5.10 แสดงการกระจายขนาดของอนุภาคฝุ่นทั้งสามรูปแบบดังกล่าว

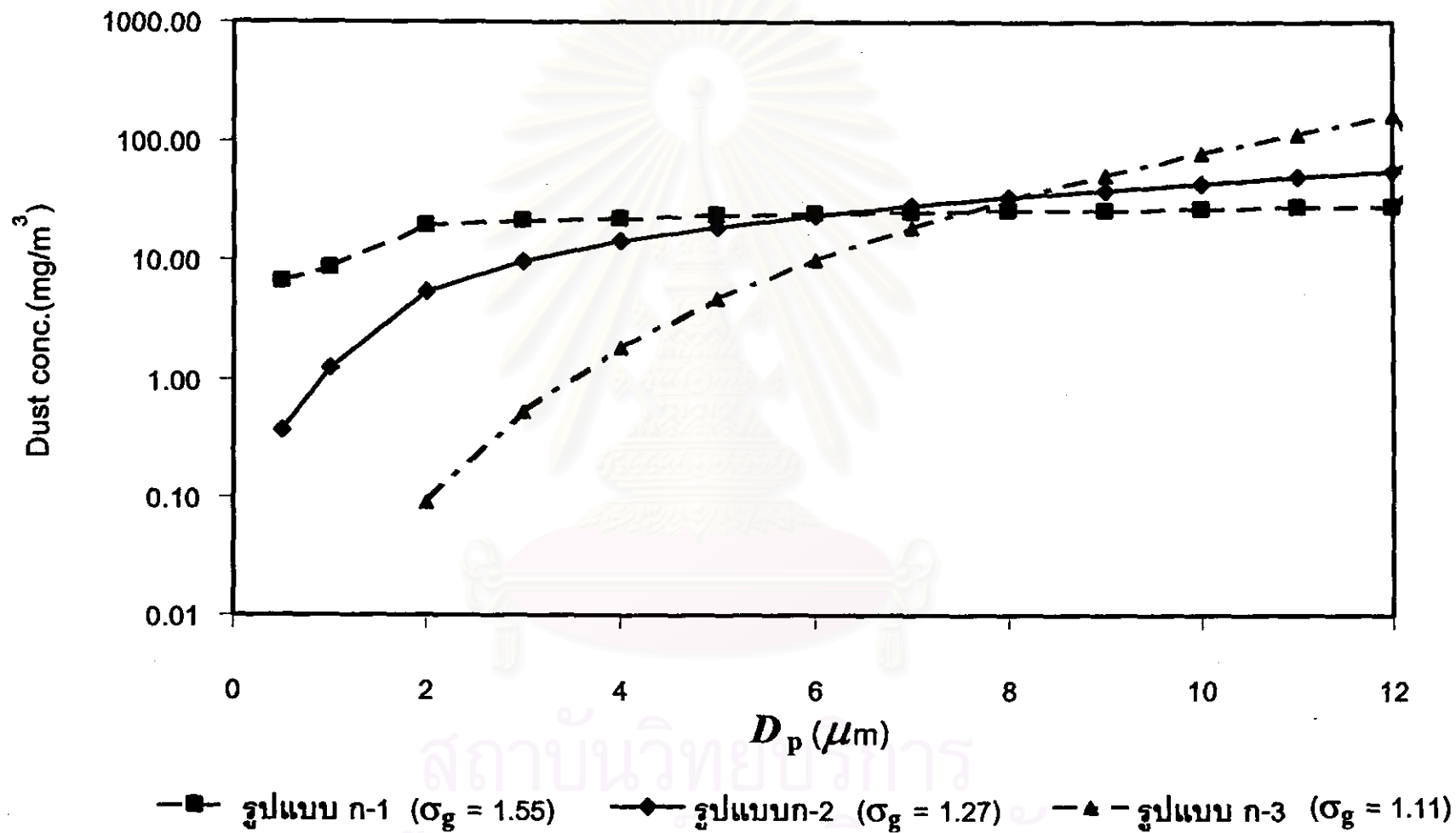
จุฬาลงกรณ์มหาวิทยาลัย

ตารางที่ 5.8 แสดงร้อยละการกระจายขนาดของอนุภาคผุ่นรูปแบบ ก-1, ก-2 และ ก-3

ช่วงขนาด อนุภาคผุ่น (μm)	ค่ากลาง (μm)	รูปแบบ ก-1			รูปแบบ ก-2			รูปแบบ ก-3		
		ความเข้ม [*] รั้น [*] (มก./ม. ³)	ความเข้ม [*] รั้น [*] สะสูน	ความเข้มข้น [*] รั้น [*] (%)	ความเข้ม [*] รั้น [*] (มก./ม. ³)	ความเข้ม [*] รั้น [*] สะสูน	ความเข้มข้น [*] รั้น [*] (%)	ความเข้ม [*] รั้น [*] (มก./ม. ³)	ความเข้ม [*] รั้น [*] สะสูน	ความเข้มข้น [*] รั้น [*] (%)
< 0.5	0.5	6.6769	6.6769	1.38	0.3697	0.3697	0.08	-	-	-
0.5 – 1.5	1	8.4845	15.1614	3.13	1.2555	1.6251	0.34	-	-	-
1.5 – 2.5	2	19.2660	34.4274	7.10	5.5194	7.1445	1.47	0.0887	0.0887	0.02
2.5 – 3.5	3	21.1946	55.6220	11.47	9.8440	16.9884	3.50	0.5317	0.6205	0.13
3.5 – 4.5	4	22.5530	78.1750	16.12	14.4209	31.4094	6.48	1.8453	2.4657	0.51
4.5 – 5.5	5	23.6202	101.7952	20.99	19.1833	50.5927	10.43	4.7245	7.1903	1.48
5.5 – 6.5	6	24.5070	126.3022	26.05	24.0939	74.6865	15.40	10.0487	17.2389	3.56
6.5 – 7.5	7	25.2698	151.5720	31.26	29.1286	103.8151	21.41	18.8686	36.1076	7.45
7.5 – 8.5	8	25.9419	177.5139	36.61	34.2705	138.0856	28.48	32.3998	68.5074	14.13
8.5 – 9.5	9	26.5441	204.0579	42.08	39.5072	177.5928	36.62	52.0165	120.5239	24.85
9.5 – 10.5	10	27.0908	231.1487	47.67	44.8288	222.4216	45.87	79.2476	199.7715	41.20
10.5 – 12	11	27.5923	258.7411	53.36	50.2274	272.6490	56.23	115.7723	315.5437	65.07
> 12	12	226.1776	484.9187	100.00	212.2697	484.9187	100.00	169.3750	484.9187	100.00
รวมจำนวนหน่วย		484.9187			484.9187			484.9187		
ขนาดผุ่นเฉลี่ย (\bar{D}_p , ไมครอน)		10.41			10.41			10.41		
ความแปรปรวน (σ_g)		1.55			1.27			1.11		



รูปที่ 5.9 กราฟแสดงความสัมพันธ์ระหว่างขนาดของอนุภาคฝุ่น(D_p) กับร้อยละสะสมของอนุภาคฝุ่นที่มีขนาดเล็กกว่าของการกระจายขนาดของอนุภาคฝุ่นรูปแบบ n-1, n-2 และ n-3 ซึ่งมีขนาดอนุภาคฝุ่นเฉลี่ย(\bar{D}_p) เท่ากับ 10.41 ไมครอน



รูปที่ 5.10 แสดงข้อมูลการกระจายขนาดของอนุภาคฝุ่นรูปแบบ g-1, g-2 และ g-3 ซึ่งมีขนาดอนุภาคฝุ่นเฉลี่ย (\bar{D}_p) เท่ากับ 10.41 ไมครอน

จากรูปที่ 5.9 – 5.10 แสดงร้อยละการกระจายขนาดของอนุภาคผุนซึ่งต้องหั้ง 3 รูปแบบ คือ รูปแบบ ก-1, ก-2 และ ก-3 ซึ่งมีความกว้างของการกระจายขนาดของอนุภาคผุนแอบลงตามลำดับ

รูปแบบ ก-1 เป็นกรณีของอนุภาคผุนขนาดเล็ก ($< 5 \text{ } \mu\text{m}$) มีความเข้มข้นมากกว่าการกระจายขนาดของอนุภาคผุนรูปแบบ ก-2 และ ก-3 แต่อนุภาคผุนขนาดใหญ่ ($> 7 \text{ } \mu\text{m}$) มีความเข้มข้นน้อยกว่า โดยค่า $\sigma = 1.55$

รูปแบบ ก-2 เป็นกรณีของอนุภาคผุนขนาดใหญ่ ($> 7 \text{ } \mu\text{m}$) มีความเข้มข้นมากกว่าการกระจายขนาดของอนุภาคผุนรูปแบบ ก-1 และค่า $\sigma = 1.27$

รูปแบบ ก-3 อนุภาคผุนมีขนาดใกล้เคียงกัน โดยค่า $\sigma = 1.11$ และไม่พบอนุภาคผุนที่มีขนาดเล็ก ($0.5 - 1 \text{ } \mu\text{m}$) ส่วนอนุภาคผุนขนาดใหญ่ ($> 7 \text{ } \mu\text{m}$) มีความเข้มข้นมากกว่าเมื่อเทียบกับการกระจายขนาดของอนุภาคผุนรูปแบบ ก-1 และ ก-2

แต่อย่างไรก็ตามเมื่อพิจารณาขนาดหนยดละอองน้ำเฉลี่ย (D_w) ของหัวฉีดหั้ง 3 ประเภท และขนาดอนุภาคผุนเฉลี่ย (D_p) หั้ง 3 รูปแบบ มีค่าเท่ากัน คือ $193.14 \text{ } \mu\text{m}$ และ $10.41 \text{ } \mu\text{m}$ ไมโครเมตร ตามลำดับ

เมื่อนำร้อยละการกระจายขนาดของหนยดละอองน้ำของหัวฉีดทุกประเภท รูปแบบการกระจายขนาดของอนุภาคผุนทุกรูปแบบ และขนาดเฉลี่ยของหนยดละอองน้ำและอนุภาคผุนที่กล่าวไปข้างต้นมาประเมินประสิทธิภาพรวมการจับผุนด้วยการฉีดหนยดละอองน้ำ (θ_{total}) โดยอาศัยแบบจำลองที่นำเสนอไปในบทที่ 4 ได้ผลการประเมินแสดงดังตารางที่ 5.9 นอกจากนี้ในตารางที่ 5.10 แสดงการเปรียบเทียบประสิทธิภาพรวมการจับผุนด้วยการฉีดหนยดละอองน้ำ (θ_{total}) โดยใช้ขนาดเฉลี่ย และร้อยละการกระจายขนาดของหนยดละอองน้ำ และอนุภาคผุน เมื่อมีการติดตั้งหัวฉีดมากกว่า 1 หัวฉีด เนื่องแหล่งกำเนิดผุน และรูปที่ 5.11 แสดงกราฟการเปรียบเทียบร้อยละการติดตั้งกล่าว

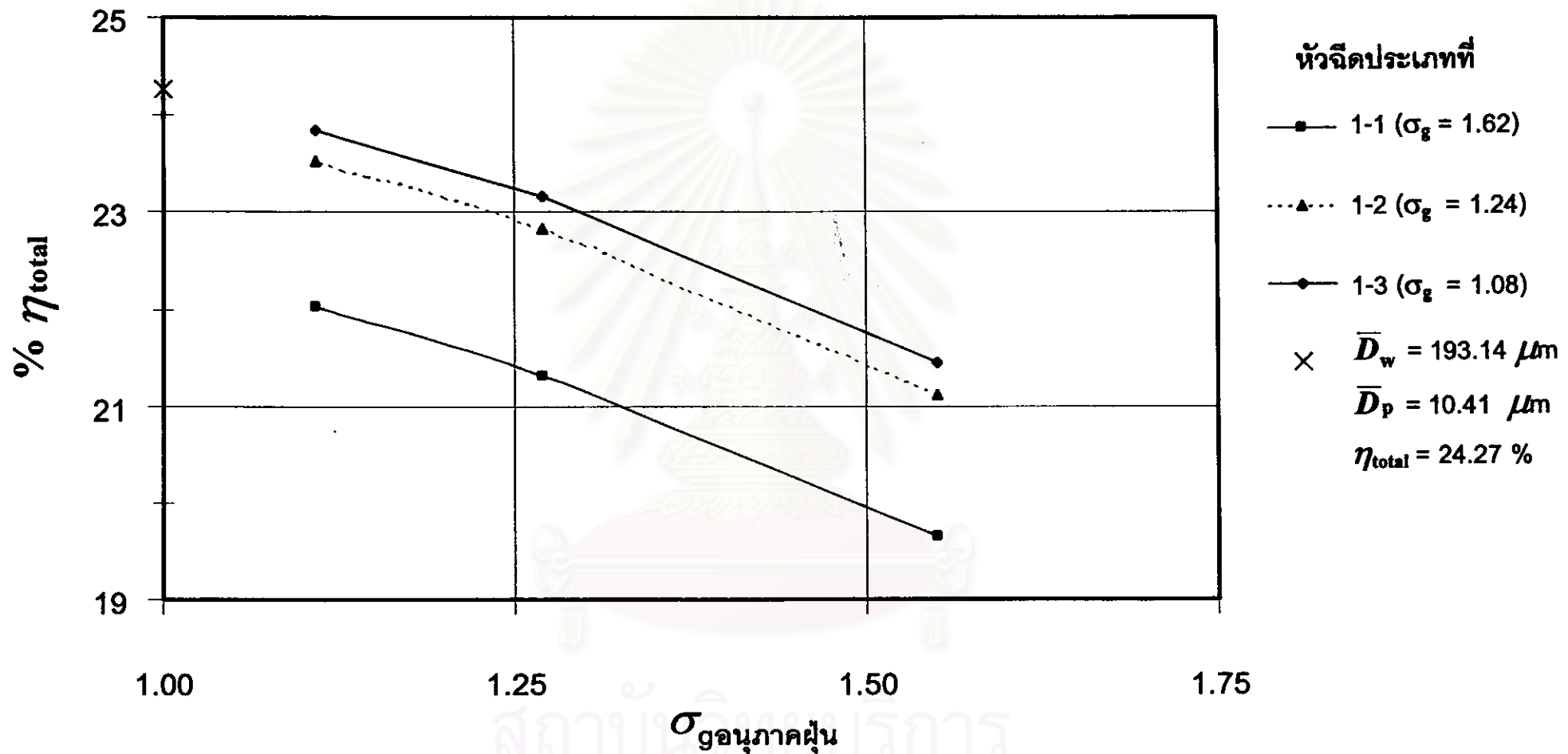
ตารางที่ 5.9 แสดงการเปรียบเทียบประสิทธิภาพรวมการจับผุนด้วยการฉีดหยอดละของน้ำ (η_{total}) เมื่อใช้หัวฉีดประเภทที่ 1-1, 1-2, 1-3 การกระจายขนาดอนุภาคผุนรูปแบบ ก-1, ก-2, ก-3 และขนาดเฉลี่ยของหยอดละของน้ำและอนุภาคผุน

หัวฉีด อนุภาคผุน	η_{total} (%)		
	ประเภทที่ 1-1	ประเภทที่ 1-2	ประเภทที่ 1-3
รูปแบบ ก-1	19.65	21.12	21.45
รูปแบบ ก-2	21.31	22.83	23.16
รูปแบบ ก-3	22.02	23.53	23.85

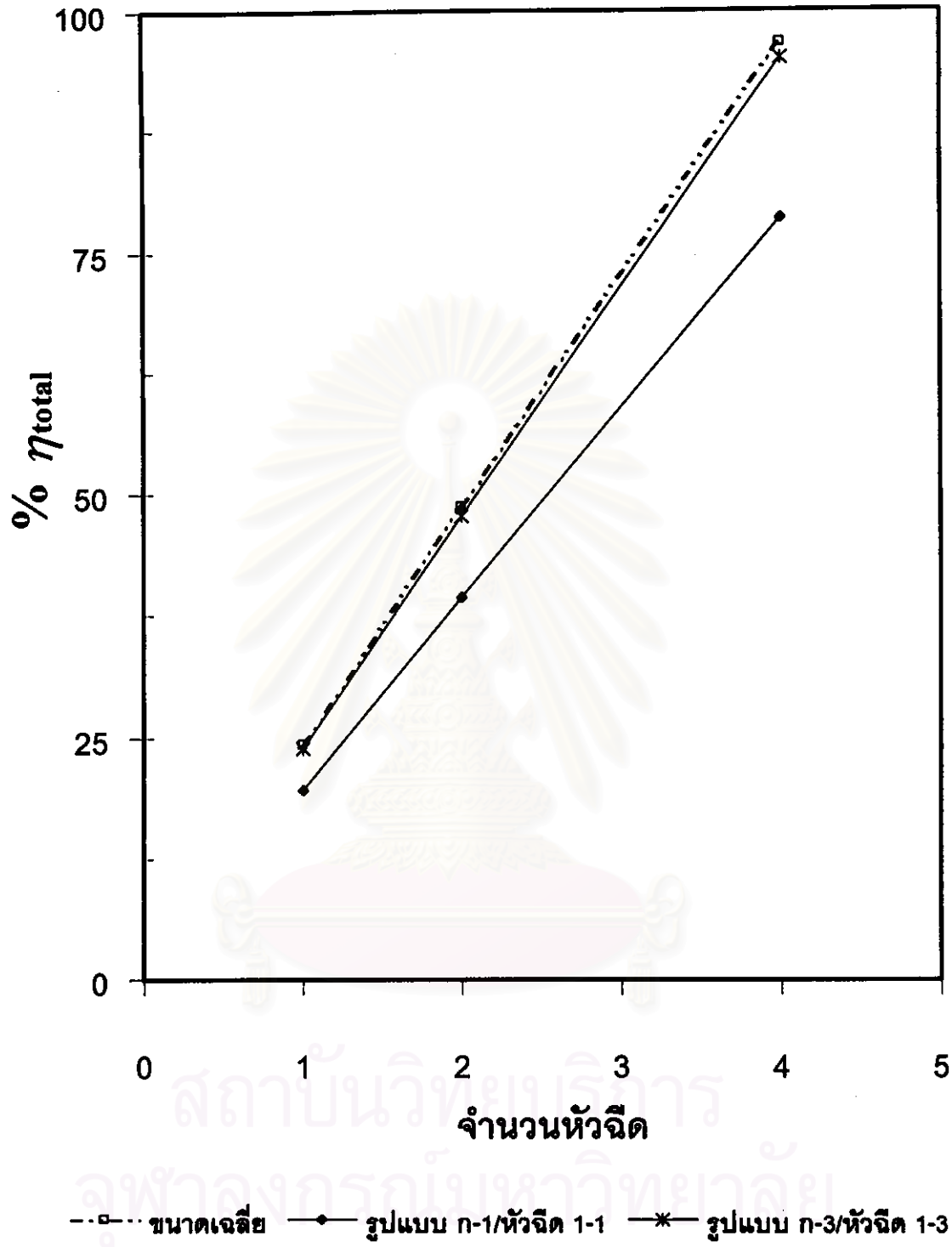
หมายเหตุ เมื่อนำขนาดหยอดละของน้ำเฉลี่ย (\bar{D}_w) ที่ถูกพ่นออกจากหัวฉีดทั้ง 3 ประเภท และขนาดอนุภาคผุนเฉลี่ย (\bar{D}_p) ทั้ง 3 รูปแบบ มาประเมินประสิทธิภาพรวมการจับผุนด้วยการฉีดหยอดละของน้ำ (η_{total}) จะมีค่าเท่ากับ 24.27 %

ตารางที่ 5.10 แสดงการเปรียบเทียบประสิทธิภาพรวมการจับผุนด้วยการฉีดหยอดละของน้ำ (η_{total}) โดยใช้ขนาดเฉลี่ยของหยอดละของน้ำและอนุภาคผุน และข้อมูลการกระจายขนาดของหยอดละของน้ำและอนุภาคผุน เมื่อมีการติดตั้งหัวฉีดมากกว่า 1 หัวฉีด เนื่องแหน่งส่งกำเนิดผุน

จำนวนหัวฉีด (หัว)	η_{total} (%)			
	รูปแบบ ก-1/ หัวฉีด 1-1	รูปแบบ ก-3/ หัวฉีด 1-3	ขนาดเฉลี่ย	$\Delta\eta_{total}$ ซิงค์
1	19.65	23.85	24.27	4.62
2	39.31	47.71	48.55	9.24
4	78.50	95.08	96.70	18.20



รูปที่ 5.11 กราฟแสดงความสัมพันธ์ระหว่างประสิทธิภาพรวมการจับฝุ่นด้วยการฉีดน้ำ (η_{total}) เมื่อใช้หัวจีดประเภทที่ 1-1, 1-2, 1-3 ซึ่งมีขนาดหยดละของน้ำเฉลี่ย (\bar{D}_w) เท่ากับ 193.14 ไมครอน จับฝุ่นที่มีการกระจายขนาดฐานแบบ ก-1 ($\sigma_g = 1.55$), ก-2 ($\sigma_g = 1.27$), ก-3 ($\sigma_g = 1.11$) ซึ่งมีขนาดอนุภาคฝุ่นเฉลี่ย (\bar{D}_p) เท่ากับ 10.41 ไมครอน



รูปที่ 5.12 กราฟแสดงการเปรียบเทียบประสิทธิภาพรวมการจับฝุ่นด้วยการซึมยอดละของน้ำ (η_{total}) เมื่อใช้ชนิดเฉลี่ยของยอดละของน้ำและอนุภาคฝุ่น ($\bar{D}_w = 193.14 \mu\text{m}$, $\bar{D}_p = 10.41 \mu\text{m}$) หัวจดประเภทที่ 1-1 จับอนุภาคฝุ่นรูปแบบ ก-1 และหัวจดประเภทที่ 1-3 จับอนุภาคฝุ่นรูปแบบ ก-3 เมื่อมีการติดตั้งหัวจดมากกว่า 1 หัวจด เนื่องแหล่งกำเนิดฝุ่น

5.1.4 วิจารณ์ผลกระทบต่อน้ำภาคผุ้นที่ทุ่งกรະชาอยู่ในระบบ และหมายดตะองน้ำที่ถูกพ่นออกจากหัวฉีดมีการกรະชาขนาด

5.1.4.1 เปรียบเทียบประสิทธิภาพรวมการจับผุ้นด้วยการฉีดหมายดตะองน้ำของหัวฉีดต่างประเภท

จากผลการประเมินประสิทธิภาพรวมการจับผุ้นด้วยการฉีดหมายดตะองน้ำ (η_{total}) ของหัวฉีดต่างประเภท เมื่อยดตะองน้ำและอนุภาคผุ้นมีการกรະชาขนาด แสดงดังตารางที่ 5.6 พบว่าประสิทธิภาพรวมการจับผุ้นของหัวฉีดประเภทที่ 1 มีค่าสูงกว่าหัวฉีดประเภทที่ 2 ทั้งนี้เนื่องจาก เมื่อพิจารณากฎที่ 5.6 ซึ่งแสดงการกรະชาขนาดของหมายดตะองน้ำที่ถูกพ่นออกจากหัวฉีดทั้ง 2 ประเภท พบว่าหัวฉีดประเภทที่ 2 หมายดตะองน้ำมีขนาดใหญ่กว่าเมื่อเทียบกับหัวฉีดประเภทที่ 1

จากผลการศึกษาแสดงดังรูปที่ 5.4 พบว่าหมายดตะองน้ำที่มีขนาดเล็กจะให้ประสิทธิภาพรวมการจับผุ้นสูงกว่าหมายดตะองน้ำที่มีขนาดใหญ่ ประกอบกับผลการศึกษาแสดงดังรูปที่ 5.5 พบว่าประสิทธิภาพรวมการจับผุ้นจะมีค่าสูงเมื่อ R (interception parameter = D_p/D_w) มีค่าประมาณ 0.1 ซึ่งจากกฎที่ 5.6 หมายดตะองน้ำที่ถูกพ่นออกจากหัวฉีดประเภทที่ 1 ส่วนใหญ่มีขนาดประมาณ 100 ไมครอน ต่างจากหัวฉีดประเภทที่ 2 ซึ่งหมายดตะองน้ำส่วนใหญ่มีขนาด 300 – 400 ไมครอน และขนาดอนุภาคผุ้นแบบ ก ส่วนใหญ่มีขนาดประมาณ 10 ไมครอน ดังนั้นหากพิจารณาค่า R เทียบกันระหว่าง 2 หัวฉีด จะพบว่าหัวฉีดประเภทที่ 1 มีค่า R ประมาณ 0.1 ดังนั้นข้อมูลแสดงดังตารางที่ 5.6 จึงสอดคล้องกับผลการศึกษาที่ผ่านมา

5.1.4.2 เปรียบเทียบการใช้ข้อมูลการกรະชาขนาดของหมายดตะองน้ำและอนุภาคผุ้น กับขนาดเฉลี่ย

จากผลการประเมินประสิทธิภาพรวมการจับผุ้นด้วยการฉีดหมายดตะองน้ำ (η_{total}) เมื่อใช้หัวฉีดประเภทที่ 1-1, 1-2, 1-3 จับอนุภาคผุ้นซึ่งมีการกรະชาขนาดรูปแบบ ก-1, ก-2, ก-3 และขนาดหมายดตะองน้ำเฉลี่ยที่ถูกพ่นออกจากหัวฉีดทั้ง 3 ประเภท และขนาดอนุภาคผุ้นเฉลี่ยของทั้ง 3 รูปแบบดังกล่าวแสดงดังตารางที่ 5.9 และรูปที่ 5.11 พบว่าหากใช้หัวฉีดประเภทที่ 1-3 จับอนุภาคผุ้นซึ่งมีการกรະชาขนาดรูปแบบ ก-1, ก-2 และ ก-3 จะให้ค่า η_{total} สูงกว่าหัวฉีดประเภทที่ 1-2 และหัวฉีดประเภทที่ 1-1 จะให้ค่า η_{total} ต่ำสุด และหากมีการติดตั้งระบบกำจัดผุ้นด้วยการฉีดหมายดตะองน้ำจับอนุภาคผุ้นที่มีการกรະชาขนาดอนุภาคผุ้นรูปแบบ ก-3 ประมาณผุ้นที่จับได้จะมีปริมาณมากกว่าการกรະชาขนาดอนุภาคผุ้นรูปแบบ ก-2 และ ก-1 โดยพิจารณาค่า η_{total} สำหรับหัวฉีด

จัดนัยดلالของน้ำเพื่อจับอนุภาคฝุ่น ซึ่งมีการกระจายขนาดรูปแบบ ก-3 จะให้ $7_{(0.01)}$ สูงกว่ารูปแบบ ก-2 และรูปแบบ ก-1 $7_{(0.01)}$ จะมีค่าต่ำสุดเมื่อเทียบกับการกระจายขนาดของอนุภาคฝุ่นรูปแบบ ก-2 และ ก-3

สาเหตุที่เป็นเช่นนี้เนื่องมาจากการเมื่อพิจารณาการกระจายขนาดของน้ำที่ถูกพ่นออกจากหัวฉีดประเภทที่ 1-3 พบว่าหยดละของน้ำมีขนาดใกล้เคียงกัน และหยดละของน้ำส่วนใหญ่มีขนาดเล็กประมาณ 150 – 225 ไมครอน ส่วนหัวฉีดประเภทที่ 1-1 ถึงแม้ว่าจะมีหยดละของน้ำขนาดเล็กมากกว่าหัวฉีดประเภทอื่นๆ แต่หยดละของน้ำที่มีขนาดใหญ่กว่าหัวฉีดประเภทที่ 1-2 และ 1-3 ดังนั้นเมื่อประเมินประสิทธิภาพรวมการจับฝุ่นด้วยการจัดนัยดلالของน้ำจะมีค่าน้อยที่สุด

สำหรับอนุภาคฝุ่นซึ่งมีการกระจายขนาดรูปแบบ ก - 3 มีความเข้มข้นของอนุภาคฝุ่นที่มีขนาดใหญ่ (>7 ไมครอน) มากกว่าการกระจายขนาดของอนุภาคฝุ่นรูปแบบอื่น ประกอบกับความเข้มข้นของอนุภาคฝุ่นที่มีขนาดเล็กๆ มีค่าต่ำมาก จากผลการศึกษาแสดงดังรูปที่ 5.4 พบว่าอนุภาคฝุ่นขนาดเล็กๆ ($0.5 - 6$ ไมครอน) จะให้ประสิทธิภาพการจับฝุ่นด้วยการจัดนัยดلالของน้ำมีค่าต่ำกว่าอนุภาคฝุ่นที่มีขนาดใหญ่ ดังนั้นอนุภาคฝุ่นซึ่งมีการกระจายขนาดรูปแบบ ก-3 จึงให้ $7_{(0.01)}$ สูงสุด ส่วนรูปแบบ ก - 1 ซึ่งมีความเข้มข้นของอนุภาคฝุ่นขนาดเล็กๆ มาก ทำให้ $7_{(0.01)}$ ที่ประเมินได้มีค่าต่ำสุด

นอกจากนี้ผลการประเมินประสิทธิภาพรวมการจับฝุ่นด้วยการจัดนัยดلالของน้ำที่แสดงในตารางที่ 5.9 ทำให้เห็นชัดเจนว่า ถึงแม้มีพิจารณาขนาดหยดละของน้ำเฉลี่ยของหัวฉีดทั้งสามประเภทและขนาดอนุภาคฝุ่นเฉลี่ยทั้งสามรูปแบบจะมีค่าเท่ากัน แต่หยดละของน้ำและอนุภาคฝุ่นมีรูปแบบการกระจายขนาดที่แตกต่างกัน เมื่อนำมาประเมินประสิทธิภาพรวมการจับฝุ่นด้วยการจัดนัยดلالของน้ำจะให้ผลที่แตกต่างกัน โดยพบว่าค่า $7_{(0.01)}$ ระหว่างค่าต่ำสุด และสูงสุดมีค่าต่างกันถึง 5.62% และหากใช้ขนาดเฉลี่ยให้ $7_{(0.01)}$ ที่ประเมินได้กลับมีค่าสูงกว่าการใช้ข้อมูลการกระจายขนาดของหยดละของน้ำ และอนุภาคฝุ่น ที่สำคัญในความเป็นจริงการติดตั้งระบบกำจัดฝุ่นด้วยการจัดนัยดلالของน้ำเนื่องจากแหล่งกำเนิดฝุ่นจำนวนหัวฉีดที่ติดตั้งมีจำนวนมากกว่า 1 หัวฉีด ซึ่งหากใช้ขนาดเฉลี่ยของหยดละของน้ำ และอนุภาคฝุ่นมาประเมินประสิทธิภาพการจับฝุ่นก็อาจมีความผิดพลาดมากขึ้น โดยพิจารณาผลการศึกษาแสดงดังตารางที่ 5.10

ดังนั้นการประเมินประสิทธิภาพรวมการจับผู้นักศึกษาด้วยการจัดนิยด鼯่องน้ำ หากใช้ช้อมูลการกระจายขนาดของหยด鼯่องน้ำและอนุภาคฝุ่นจะให้ผลที่มีความน่าเชื่อถือมากกว่าการใช้ขนาดเฉลี่ย แต่ทั้งนี้ต้องนับประดิษฐ์ว่าอนุภาคฝุ่นส่วนใหญ่มีขนาดในรูปแบบเดียวกัน แต่เมื่อขนาดของอนุภาคฝุ่นเพิ่มขึ้น ขนาดของหยด鼯่องน้ำจะเพิ่มขึ้นตามไปด้วย ทำให้เกิดการประเมินที่ไม่แม่นยำ

อนึ่งจากบันทึกที่ 5.11 และบันทึกที่ 5.12 พบว่าหากหยด鼯่องน้ำและอนุภาคฝุ่นมีช่วงกว้างมาก ผลกระทบต่อระบบควบคุมคุณภาพฝุ่นส่วนใหญ่มีขนาดใหญ่ แต่เมื่อขนาดของหยด鼯่องน้ำและอนุภาคฝุ่นเพิ่มขึ้น ผลกระทบต่อระบบควบคุมคุณภาพฝุ่นจะลดลง แต่เมื่อขนาดของหยด鼯่องน้ำและอนุภาคฝุ่นเพิ่มขึ้น ผลกระทบต่อระบบควบคุมคุณภาพฝุ่นจะเพิ่มขึ้น ทำให้เพราะให้ผลคลาดเคลื่อนไม่มากนัก

5.2 อิทธิพลของความเร็ว และทิศทางลมจากสิ่งแวดล้อม

จากที่ได้กล่าวไว้แล้วในหัวข้อ 2.8 ปัจจัยที่มีผลกระทบโดยตรงต่อประสิทธิภาพการจับผู้นักศึกษาด้วยการจัดนิยด鼯่องน้ำ นอกจากรายขนาดของหยด鼯่องน้ำที่ถูกพ่นออกจากหัวฉีดและขนาดอนุภาคฝุ่นซึ่งพึงกระเจาอยู่ในระบบแล้ว อิทธิพลของลมจากสิ่งแวดล้อมก็เป็นอีกปัจจัยหนึ่งที่มีผลอย่างมากต่อระบบควบคุมคุณภาพฝุ่นดังกล่าว เนื่องจากไม่สามารถควบคุมได้ ซึ่งอยู่กับสภาพภูมิอากาศและภูมิประเทศที่ตั้งของโรงเรียน และในกระบวนการการไม่ บด และย่อยหินของโรงเรียนในการปิดคุณภาพกรณีที่ต้องห้ามไม่สามารถกระทำการได้ จำเป็นต้องมีการเปิด扇子บางๆ ต่อความสะดวกในการบำบัดรักษา ดังนั้นเพื่อให้การติดตั้งระบบควบคุมคุณภาพฝุ่นด้วยการจัดนิยด鼯่องน้ำมีประสิทธิภาพเพิ่มขึ้น การศึกษาอิทธิพลของลมจากสิ่งแวดล้อมว่ามีผลอย่างไรต่อระบบควบคุมคุณภาพฝุ่นด้วยการจัดนิยด鼯่องน้ำ โดยอาศัยแบบจำลองที่ได้นำเสนอในบทที่ 4 จึงมีความสำคัญ และจำเป็นอย่างยิ่ง โดยการศึกษาอิทธิพลของลมจากสิ่งแวดล้อมจะแบ่งเป็น 2 หัวข้อ คือ

- อิทธิพลของความเร็วลมจากสิ่งแวดล้อม
- อิทธิพลของทิศทางลมจากสิ่งแวดล้อม และการติดตั้งหัวฉีด

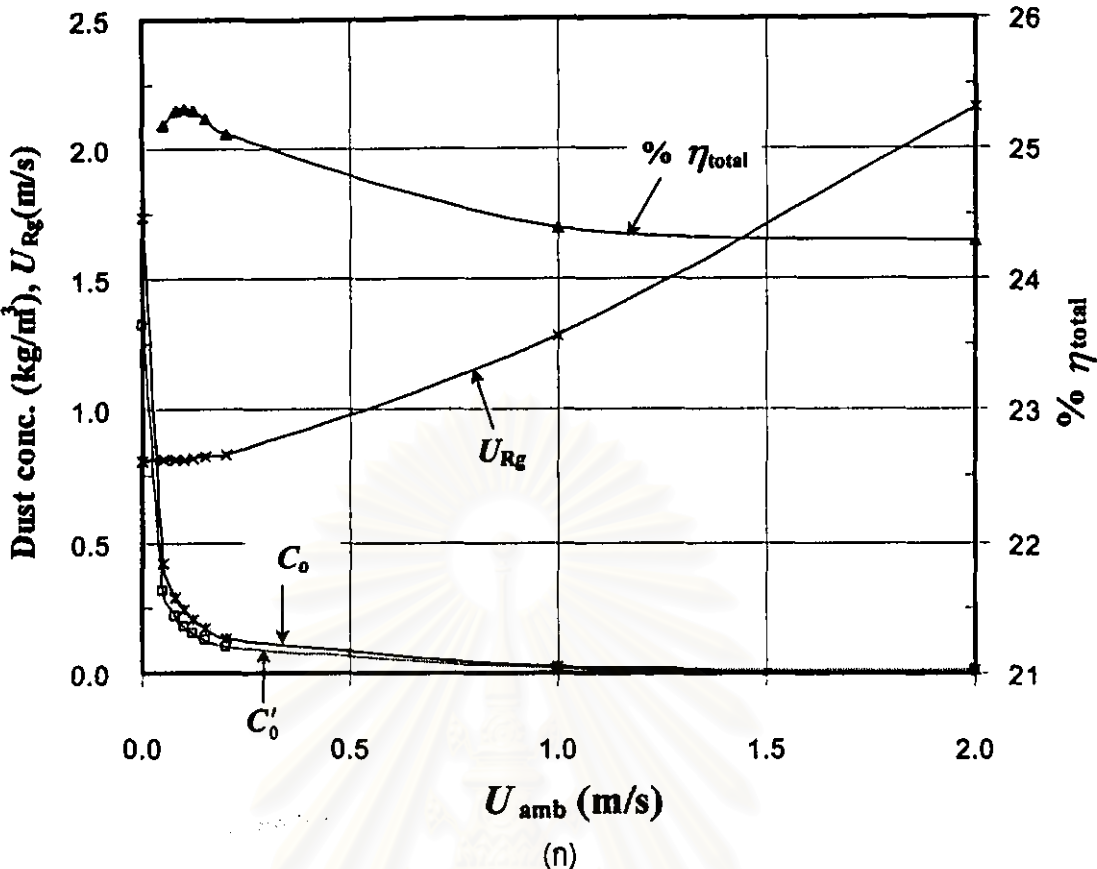
5.2.1 อิทธิพลของความเร็วลมจากสิ่งแวดล้อม

ทำการศึกษาโดยกำหนดให้ระบบมีสภาวะดังแสดงในตารางที่ 5.1 แต่ทำการปรับเปลี่ยนค่าความเร็วลมจากสิ่งแวดล้อม (U_{amb}) ให้มีค่าแตกต่างกันไป และขนาดของหยด鼯่องน้ำและอนุภาคฝุ่นมีขนาดเดียวกันนี้เพื่อให้ง่ายต่อการพิจารณาผล โดยขนาดของหยด鼯่องน้ำใช้ขนาด

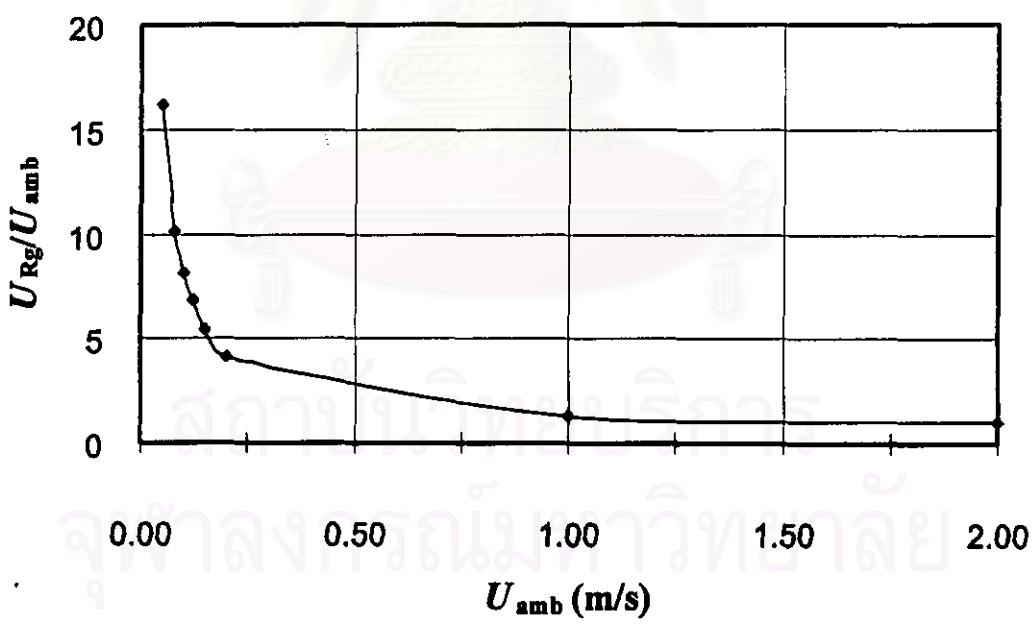
เฉลี่ยของหัวจีดประเภทที่ 1 และขนาดอนุภาคฝุ่นใช้ขนาดเฉลี่ยของรั้อเมลการกระจายขนาดอนุภาค ฝุ่นข้างซ้ายจากอุปกรณ์ปากโน่น 2 ของโรงโน่นหินแห่งที่ 2 มีขนาด 193.14 ไมครอน และ 10.41 ไมครอน ตามลำดับ โดยผลการศึกษาแสดงดังตารางที่ 5.11 และรูปที่ 5.13 แสดงกราฟความสัมพันธ์ของตัว แปรต่างๆ กับความเร็วลมจากสิ่งแวดล้อม ส่วนตารางที่ 5.12-13 แสดงผลการประเมินประสิทธิภาพ รวมการจับฝุ่นด้วยการจัดหน่วยทดลองของน้ำเหนือแหล่งกำเนิดฝุ่นต่างๆ เมื่อความเร็วลมจากสิ่งแวดล้อม มีค่าต่างๆ โดยอาศัยรั้อเมลจริงซึ่งมีการกระจายขนาดของน้ำและอนุภาคฝุ่นจากเอกสาร ข้างต้น(กมล ชนวนพวรรณ, 2540, กรมควบคุมมลพิษ, 2540 และ 2541) ดังที่ได้นำเสนอไปแล้วใน บทที่ 4 หัวข้อ 4.4 และรูปที่ 5.14 แสดงกราฟความสัมพันธ์ของประสิทธิภาพรวมการจับฝุ่นด้วยการ จัดหน่วยทดลองของน้ำกับความเร็วลมจากสิ่งแวดล้อมของรั้อเมลดังกล่าว

ตารางที่ 5.11 แสดงผลการประเมินประสิทธิภาพรวมการจับฝุ่นด้วยการจัดหน่วยทดลองของน้ำ(กมล)
และค่าตัวแปรอื่นๆที่สำคัญ เมื่อความเร็วลมจากสิ่งแวดล้อม(U_{amb})มีค่าต่างๆ

U_{amb} (m/s)	C_0 (kg/m ³)	U_{Rg} (m/s)	U_{Rg}/U_{amb} (-)	Δq (kg/s)	C'_0 (kg/m ³)	η_{total} (%)
0.00	1.733	0.808	-	0.0592	1.324	23.611
0.05	0.422	0.809	16.188	0.0631	0.315	25.184
0.08	0.290	0.812	10.148	0.0634	0.217	25.306
0.10	0.240	0.814	8.140	0.0635	0.179	25.319
0.12	0.205	0.817	6.806	0.0634	0.153	25.302
0.15	0.168	0.822	5.478	0.0633	0.125	25.247
0.20	0.129	0.832	4.161	0.0630	0.097	25.128
1.00	0.027	1.286	1.286	0.0611	0.021	24.388
2.00	0.014	2.157	1.078	0.0609	0.010	24.290



(g)



(h)

ญี่ปุ่นที่ 5.13 (g) กราฟแสดงความสัมพันธ์ระหว่างความเร็วขันอนุภาคฝุ่นในปริมาตรรวมคุณก่อน (C_0) และหลัง (C'_0) การติดตั้งหัวฉีด流速ของน้ำ ค่าความเร็วสัมพันธ์ระหว่าง流速ของน้ำและอนุภาคฝุ่น (U_{Rg}) และประสิทธิภาพรวมการจับฝุ่นด้วยการฉีด流速ของน้ำ (η_{total}) กับความเร็วลมจากสิ่งแวดล้อม (U_{amb})

(h) กราฟแสดงความสัมพันธ์ระหว่างอัตราส่วนความเร็วสัมพันธ์ของ流速ของน้ำกับอนุภาคฝุ่นต่อความเร็วลมจากสิ่งแวดล้อม ($U_{\text{Rg}}/U_{\text{amb}}$) กับความเร็วลมจากสิ่งแวดล้อม (U_{amb}) เมื่อยอด流速ของน้ำมีขนาดเฉลี่ย (\bar{D}_w) = 193.14 μm และอนุภาคฝุ่นมีขนาดเฉลี่ย (\bar{D}_p) = 10.41 μm

ตารางที่ 5.12 แสดงผลการประเมินประสิทธิภาพรวมการจับผู้น้ำด้วยการอีดนายดละของน้ำหนึ่งแหนล่งกำเนิดผุนต่างๆ เมื่อความเร็วลมจากสิ่งแวดล้อมมีค่าต่างๆ โดยอาศัยข้อมูลจริงของโรงโน้มแห่งที่ 1 จากเอกสารข้างต้น

U_{amb} (m/s)	$\eta_{total} (%)$	
	โรงโน้มแห่งที่ 1	
	ด้านบนปากโน้ม 1	ด้านบนปากโน้ม 2 (คิดรวม 4 เครื่อง)
0.00	85.7086	53.6717
0.05	89.4922	55.2449
0.10	90.2145	55.4679
0.15	90.4694	55.5376
1.90	90.5307	55.5515 *
0.20	90.5338 *	55.5514
0.21	90.5330	55.5502
0.25	90.5014	55.5371
0.50	90.0207	55.3662
1.00	89.4529	55.1571
2.00	89.1661	55.0476
3.00	89.1002	55.0217

หมายเหตุ

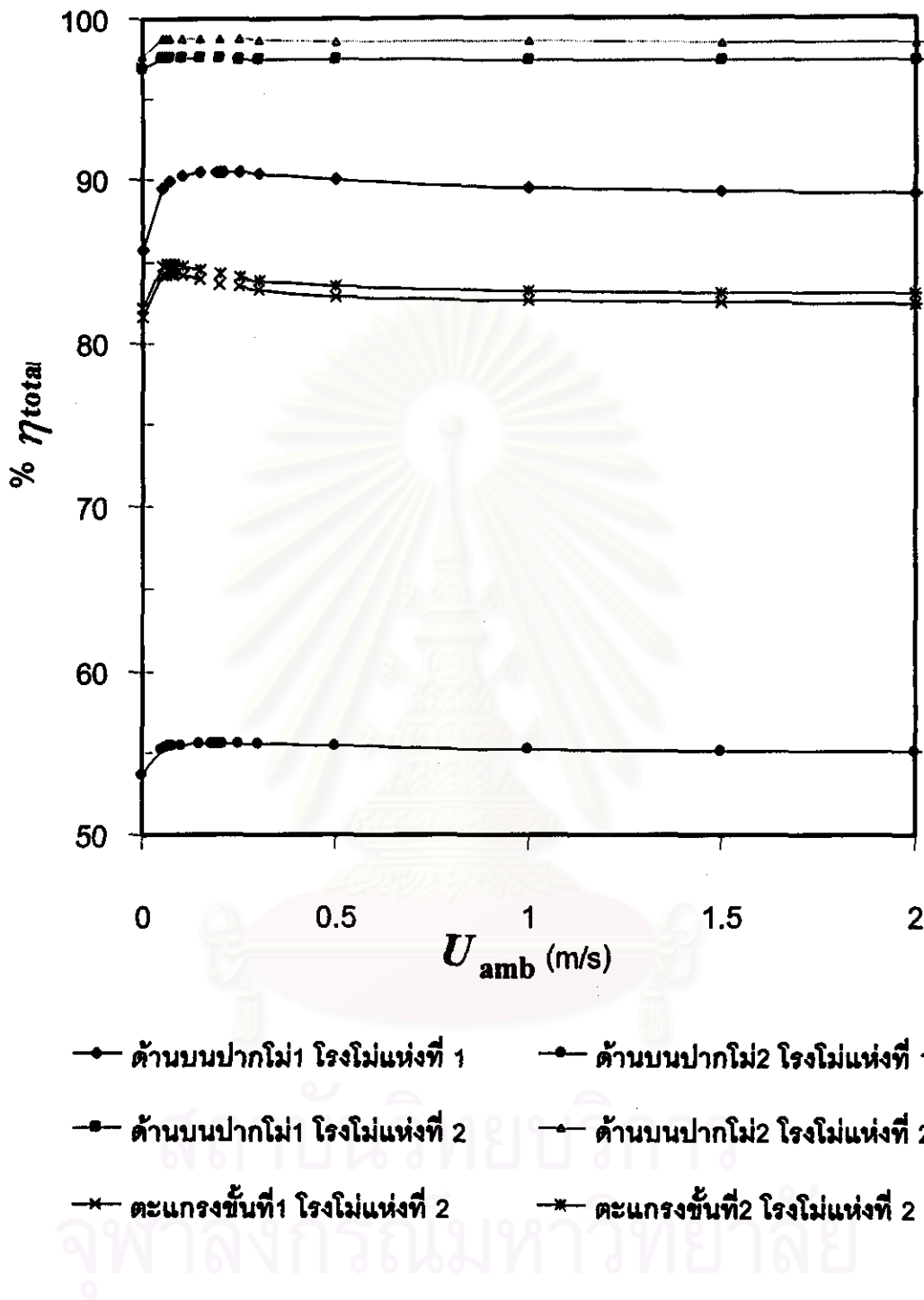
* แสดงค่าประสิทธิภาพรวมการจับผู้น้ำด้วยการอีดนายดละของน้ำสูงสุดเหนือแหนล่งกำเนิดผุนนั้น

ตารางที่ 5.13 แสดงผลการประมาณประสิทธิภาพรวมการจับคุณด้วยการจัดหน่วยคละของน้ำหนืดแหล่งกำเนิดคุณต่างๆ เมื่อความเร็วลมจากสิ่งแวดล้อมมีค่าต่างๆ โดยอาศัยข้อมูลจริงของโรงโน้มินแห่งที่ 2 จากเอกสารอ้างอิง

U_{amb} (m/s)	$\eta_{\text{รวม}} (\%)$			
	โรงโน้มินแห่งที่ 2			
	ด้านบนปากโน้ม 1	ด้านบนปากโน้ม 2	ตะแกรงชั้นที่ 1	ตะแกรงชั้นที่ 2
0.00	96.8923	97.6726	81.6217	82.1739
0.05	97.6035	98.8108	84.1799	84.7746
0.06	97.6043 *	98.8119 *	84.2349	84.8289
0.07	97.6019	98.8106	84.2529 *	84.8461 *
0.10	97.5858	98.7991	84.1818	84.7731
0.15	97.5518	98.7734	83.9270	84.5162
0.20	97.5218	98.7505	83.6760	84.2637
0.25	97.4979	98.7320	83.4685	84.0552
0.50	97.4345	98.6099	82.9057	83.4901
1.00	97.3984	98.5170	82.5857	83.1690
2.00	97.3788	98.4772	82.4600	83.0429
3.00	97.3715	98.4682	82.4325	83.0153

หมายเหตุ

* แสดงค่าประมาณประสิทธิภาพรวมการจับคุณด้วยการจัดหน่วยคละของน้ำหนึดแหล่งกำเนิดคุณนั้น



รูปที่ 5.14 กราฟแสดงความสัมพันธ์ระหว่างประสิทธิภาพรวมการจับคุณด้วยการฉีดหยดละอองน้ำ (η_{total}) กับความเร็วลมจากสิ่งแวดล้อม (U_{amb}) โดยอาศัยชั้นมูลปากโน่ 1 ปากโน่ 2 (คิดรวม 4 เครื่อง) ของโรงโน่น หินแห่งที่ 1 และชั้นมูลปากโน่ 1 ปากโน่ 2 ตะแกรงชั้นที่ 1 และตะแกรงชั้นที่ 2 ของโรงโน่นแห่งที่ 2 จากเอกสารอ้างอิง

5.2.2 วิจารณ์ผลอิทธิพลของความเร็วลมจากสิ่งแวดล้อม

จากแบบจำลองที่นำเสนอด้วยในบทที่ 4 จะพบว่าความเร็วลมจากสิ่งแวดล้อม(U_{amb})มีผลกับค่าความเร็วลมพื้นที่ระหว่างหยดละอองน้ำและอนุภาคฝุ่นที่เคลื่อนที่มา กับกระแสลม(U_{Rg}) และอัตราการไหลเข้าและออกของอนุภาคฝุ่นในระบบหรือปริมาตรควบคุมทั้งก่อนและหลังติดตั้งระบบกำจัดฝุ่นโดยการฉีดหยดละอองน้ำ

ดังนั้นจากการศึกษาซึ่งกำหนดให้ความเข้มข้นฝุ่นจากสิ่งแวดล้อม(C_{amb}) และความเข้มข้นฝุ่นที่พุ่งจากแหล่งกำเนิดฝุ่น(C_0) มีค่าคงที่ แสดงดังตารางที่ 5.11 และรูปที่ 5.13 พบว่าเมื่อความเร็วลมจากสิ่งแวดล้อมเพิ่มขึ้น มีผลทำให้อัตราการไหลเข้าของอนุภาคฝุ่นจากสิ่งแวดล้อมเข้ามาในระบบมากขึ้น แต่ขณะเดียวกันอนุภาคฝุ่นที่อยู่ในระบบซึ่งมีความเข้มข้นมากกว่าความเข้มข้นฝุ่นจากสิ่งแวดล้อมก็จะถูกกระแสลมพัดออกไปจากระบบเข่นเดียว กัน ด้วยเหตุนี้จึงมีผลทำให้ความเข้มข้นของอนุภาคฝุ่นในระบบ(C_0) มีค่าลดลงเมื่อกระแสลมจากสิ่งแวดล้อมเพิ่มขึ้น แต่เมื่อพิจารณาค่าความเร็วลมพื้นที่ระหว่างหยดละอองน้ำและอนุภาคฝุ่น(U_{Rg}) คำนวณจากสมการ 4.25) จะมีค่าเพิ่มขึ้นเมื่อกระแสลมจากสิ่งแวดล้อมเพิ่มขึ้น การเพิ่มขึ้นของค่าความเร็วลมพื้นที่ระหว่างหยดละอองน้ำและอนุภาคฝุ่นมีผลทำให้ประสิทธิภาพรวมการจับฝุ่นด้วยการฉีดหยดละอองน้ำมีค่าเพิ่มขึ้น แต่ขณะเดียวกันกระแสลมที่เพิ่มขึ้นนี้ส่งผลให้ความเข้มข้นของอนุภาคฝุ่นในระบบก่อนทำการควบคุมปริมาณฝุ่นโดยการฉีดหยดละอองน้ำ(C_0) มีค่าลดลงอยู่แล้ว สงผลให้อัตราการจับอนุภาคฝุ่นด้วยหยดละอองน้ำมีค่าลดลง และประสิทธิภาพรวมการจับฝุ่นด้วยการฉีดหยดละอองน้ำ(η_{total}) มีค่าลดลงเข่นกัน

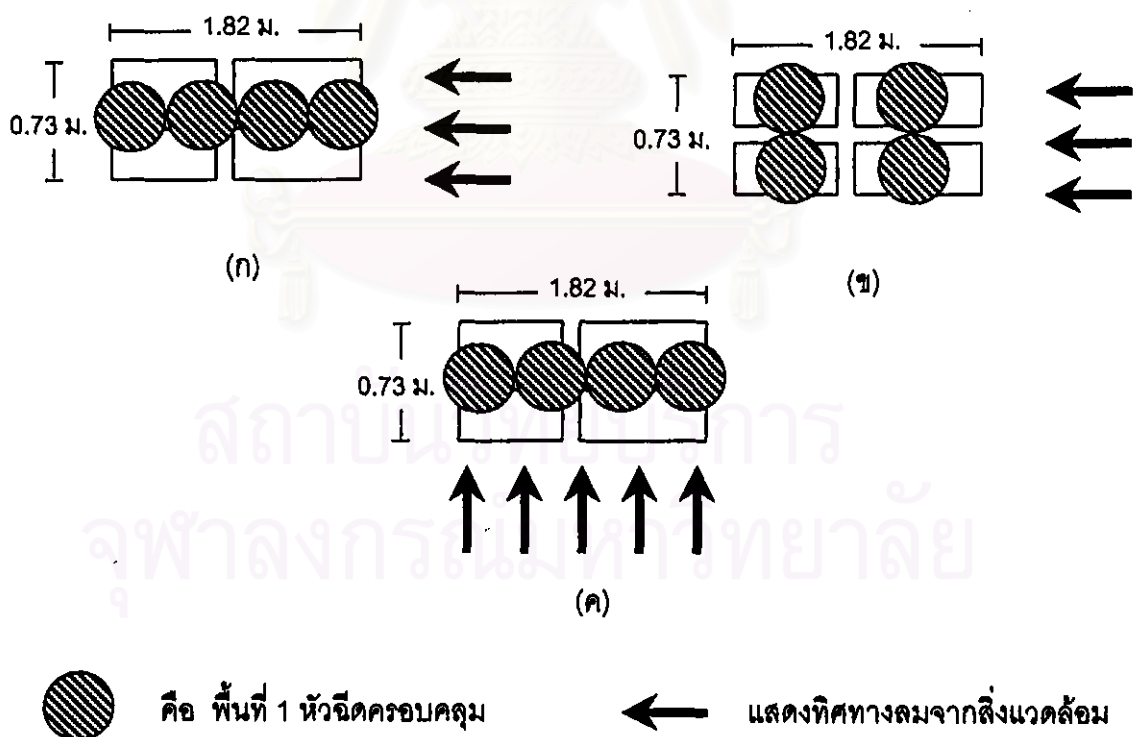
จากรูปที่ 5.14 แสดงกราฟความสัมพันธ์ของประสิทธิภาพรวมการจับฝุ่นด้วยการฉีดหยดละอองน้ำกับความเร็วลมจากสิ่งแวดล้อมของชั้นมูลโดยอาศัยชั้นมูลจริงซึ่งมีการกระจายขนาดของหยดละอองน้ำและอนุภาคฝุ่นจากเอกสารชี้แจง(กมล ชนวนพารวณ, 2540, กรมควบคุมมลพิษ, 2540 และ 2541) พบว่ามีลักษณะเข่นเดียวกับรูปที่ 5.13 แต่เมื่อพิจารณาความแตกต่างของ η_{total} เมื่อ U_{amb} มีค่าต่างๆ จะพบว่า η_{total} มีค่าเปลี่ยนแปลงไม่มากนัก ดังนั้นอิทธิพลของความเร็วลมจึงมีผลต่อ η_{total} ไม่มากนัก

กรณีหากหยดละอองน้ำเคลื่อนที่ไปกับกระแสลม($U_{amb}/U_{Rg} \approx 1$) อาจมีผลทำให้พื้นที่ที่หยดละอองน้ำครอบคลุมได้มีขนาดเปลี่ยนแปลงไป แต่เพื่อลดความซับซ้อนของแบบจำลองจึงจะต้อง

ประเด็นนี้ไป ดังนั้นผลการประเมินประสิทธิภาพรวมการจับผู้นัดหยดละของน้ำอาจมีข้อผิดพลาดเมื่อความเร็ว慢จากสิ่งแวดล้อมมีค่าสูงพอทำให้หยดละของน้ำเคลื่อนที่ไปกับกระแสลม

5.2.3 อิทธิพลของทิศทางลมจากสิ่งแวดล้อม และการติดตั้งหัวฉีด

การติดตั้งหัวฉีดหยดละของน้ำเหนือแหล่งกำเนิดฝุ่นส่วนใหญ่มักนิยมติดตั้งหัวฉีดให้สามารถฉีดพ่นหยดละของน้ำคลุมพื้นที่แหล่งกำเนิดฝุ่นทั้งหมด แต่ในบางกรณีอาจมีอุปสรรคหรือปัญหาเกิดขึ้นจนไม่สามารถติดตั้งหัวฉีดคลุมพื้นที่ทั้งหมดได้ เช่น บริเวณตะแกรงคัดขนาดหิน การติดตั้งหัวฉีดจำนวนมากเกินไปอาจทำให้เกิดการอุดตันของตะแกรงเป็นต้น ดังนั้นการเลือกตำแหน่งของหัวฉีดให้เหมาะสมกับทิศทางลมจะช่วยให้การติดตั้งระบบกำจัดฝุ่นในที่เปิดโล่งโดยการฉีดหยดละของน้ำเหนือแหล่งกำเนิดฝุ่นดังกล่าวมีประสิทธิภาพเพิ่มขึ้น รูปที่ 5.14 แสดงผลการประเมินประสิทธิภาพรวมการจับผู้นัดหยดละของน้ำจากตัวอย่างง่ายๆของการติดตั้งหัวฉีดหยดละของน้ำเหนือแหล่งกำเนิดฝุ่นในกรณีที่ไม่สามารถติดตั้งหัวฉีดคลุมพื้นที่กำเนิดฝุ่นทั้งหมด โดยอาศัยโปรแกรมที่พัฒนาขึ้นจากแบบจำลองซึ่งนำเสนอไปในบทที่ 4 และดังรูปที่ 5.15



รูปที่ 5.15 แสดงภาพด้านบน(top view) การติดตั้งหัวฉีด (ก) รูปแบบที่ 1 (ก) รูปแบบที่ 2 และ (ก) รูปแบบที่ 3

ตารางที่ 5.14 แสดงผลการประเมินประสิทธิภาพรวมการจับผู้นัดหยดคลอของน้ำจากตัวอย่างจำนวนการติดตั้งหัวฉีดหยดคลอของน้ำเหนือแหล่งกำเนิดผุน ในกรณีที่ไม่สามารถติดตั้งหัวฉีดคุณพื้นที่กำเนิดผุนหันหมด โดยพารามิเตอร์ต่างๆแสดงดังตารางที่ 4.3

$\eta_{total} (%)$		
รูปแบบที่ 1	รูปแบบที่ 2	รูปแบบที่ 3
55.09	55.53	66.80

5.2.4 วิเคราะห์ผลอิทธิพลของพิศทางลมจากสิ่งแวดล้อม และการติดตั้งหัวฉีด

จากตัวอย่างผลการติดตั้งหัวฉีดหยดคลอของน้ำเหนือแหล่งกำเนิดผุนหัน 2 รูปแบบ แสดงดังรูปที่ 5.15 และตารางที่ 5.14 พบร่วมกับการติดตั้งหัวฉีดรูปแบบที่ 3 ให้ประสิทธิภาพรวมการจับผู้น้ำมากกว่าการติดตั้งหัวฉีดรูปแบบที่ 1 และรูปแบบที่ 2 สาเหตุเนื่องมาจากการติดตั้งหัวฉีดรูปแบบที่ 3 จะทำให้การไหลเวียนของน้ำภาคผุนหันสู่ลักษณะเปรียบ (q_u) มีปริมาณมากกว่าการติดตั้งหัวฉีดรูปแบบที่ 1 สงผลให้อัตราการกำจัดผุนหันหยดคลอของน้ำ (Δq) มีค่ามากกว่า ตั้งนั้นประสิทธิภาพรวมการจับผุนหันมีค่ามากกว่า

จากตัวอย่างนี้ชี้ให้เห็นว่าการใช้แบบจำลองที่ได้นำเสนอไปในบทที่ 4 และโปรแกรมที่พัฒนาขึ้นโดยอาศัยแบบจำลองดังกล่าว ช่วยจำลองการติดตั้งหัวฉีดในตำแหน่งต่างๆ และประเมินประสิทธิภาพรวมการจับผู้นัดหยดคลอของน้ำเพื่อเลือกตำแหน่งที่เหมาะสมกับพิศทางลมจากสิ่งแวดล้อมจะช่วยประหยัดค่าใช้จ่ายอย่างมาก และทำให้การติดตั้งระบบกำจัดผุนหันโดยการฉีดหยดคลอของน้ำมีประสิทธิภาพดียิ่งขึ้น

5.3 ความว่องไวของประสิทธิภาพการจับผู้น้ำเมื่อมีการเปลี่ยนแปลงตัวแปรควบคุมต่างๆ ของแบบจำลอง

เนื่องจากแบบจำลองสำหรับคำนวณหาประสิทธิภาพการจับผู้น้ำในที่เปิดโล่งโดยการฉีดหยดคลอของน้ำมีตัวแปรหลายตัวเข้ามาเกี่ยวข้อง อาทิเช่น ขนาดของหยดคลอของน้ำและอนุภาคผุนหันเริ่มจากสิ่งแวดล้อม เป็นต้น ตั้งนั้นการพิจารณาถึงความว่องไวของตัวแปรควบคุมต่างๆ ต่อประสิทธิภาพการจับผู้น้ำของแบบจำลองจะเป็นประโยชน์ต่อการพิจารณาซื้อมาลซึ่งตัวแปรต่างๆ ก่อนนำมาประเมินหาประสิทธิภาพการจับผู้น้ำว่าต้องมีความละเอียดและแม่นยำเพียงใด

ทำการศึกษาโดยพิจารณาค่าประสิทธิภาพรวมการจับฝุ่นด้วยการฉีดหยอดละอองน้ำ (η_{total}) เมื่อมีการปรับเปลี่ยนขนาดอนุภาคฝุ่น (D_p) ขนาดหยอดละอองน้ำ (D_w) ความเร็วขันอนุภาคฝุ่นที่หุ้งชั้นมากแห้งหลังกำเนิด (C_s) ความสูงคำสเปรย์ (L_w) ความเร็วลมจากสิ่งแวดล้อม (U_{amb}) และความสูงของแหล่งกำเนิดฝุ่น (H) โดยขณะที่มีการปรับเปลี่ยนตัวแปรที่สนใจ ตัวแปรและค่าพารามิเตอร์อื่นๆ ถูกกำหนดให้มีค่าคงที่ดังแสดงในตารางที่ 5.1 โดยข้อมูลผลการศึกษาดังกล่าวแสดงในตารางที่ 5.15 และรูปที่ 5.16

ตารางที่ 5.15 แสดงผลการประเมินประสิทธิภาพรวมการจับฝุ่นด้วยการฉีดหยอดละอองน้ำ (η_{total}) เมื่อมีการปรับเปลี่ยนตัวแปรควบคุมต่างๆ

D_p (μm)	η_{total} (%)
1	0.883
2	6.735
3	13.631
4	18.015
5	22.046
6	24.282
7	25.479
8	26.164
9	26.586
10	26.867

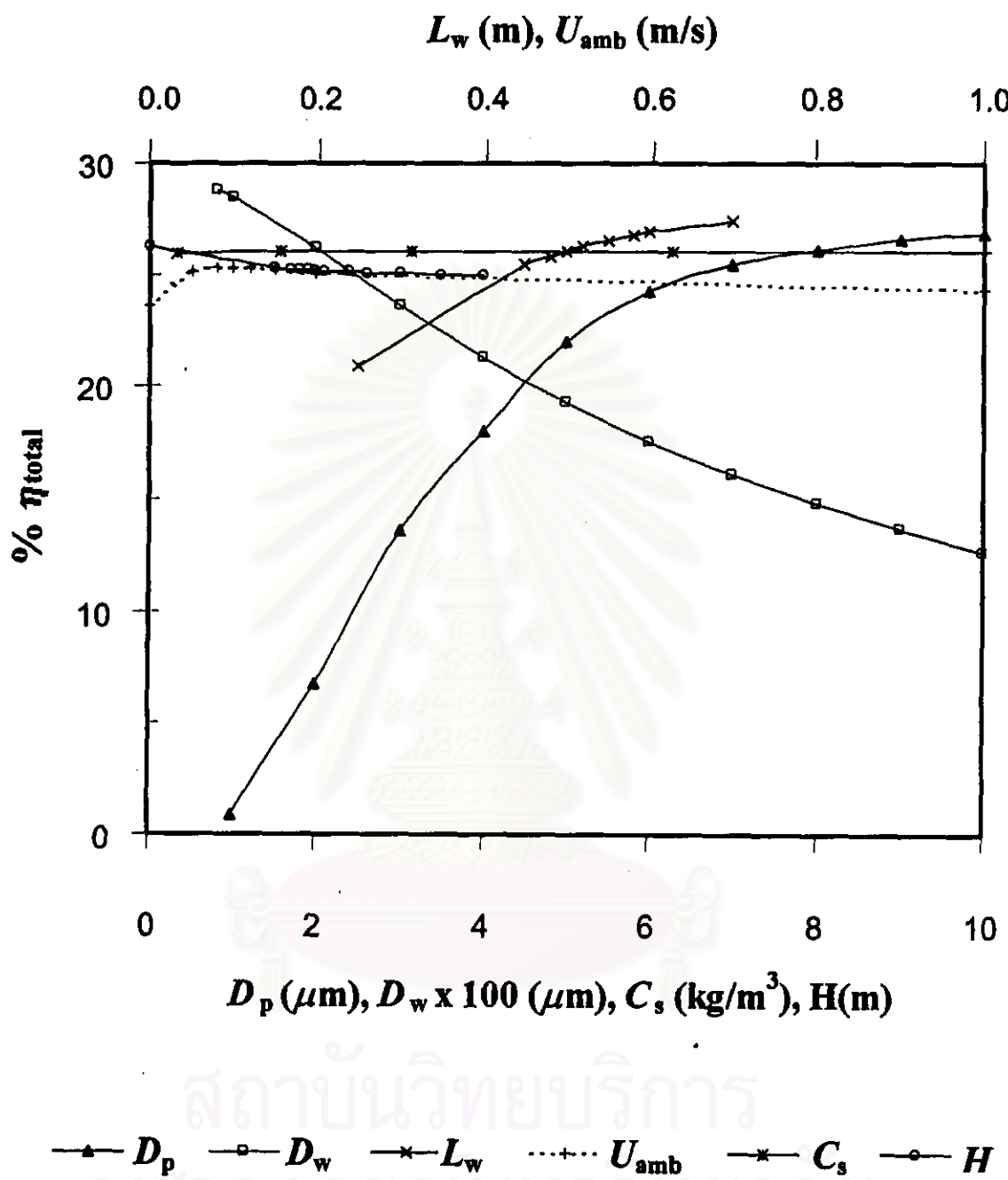
D_w (μm)	η_{total} (%)
80	28.791
100	28.500
200	26.206
300	23.682
400	21.336
500	19.301
600	17.567
700	16.091
800	14.829
900	13.665
1000	12.653

L_w (m)	η_{total} (%)
0.2	24.749
0.25	20.901
0.45	25.492
0.48	25.858
0.5	26.074
0.52	26.271
0.55	26.534
0.58	26.765
0.6	26.904
0.7	27.453

U_{amb} (m/s)	η_{total} (%)
0.00	23.611
0.05	25.184
0.08	25.306
0.10	25.319
0.12	25.302
0.15	25.247
0.20	25.128
1.00	24.388

C_s (kg/m ³)	η_{total} (%)
0.313	26.016
1.567	26.067
3.133	26.074
6.266	26.079
12.532	26.079

H (m)	η_{total} (%)
0.0	26.296
1.5	25.320
1.8	25.249
2.0	25.210
2.1	25.192
2.4	25.145
3.0	25.071
4.0	24.987



รูปที่ 5.16 กราฟแสดงความไวของค่าประสิทธิภาพการจับฝุ่น (η_{total}) เมื่อมีการเปลี่ยนแปลงตัวแปรควบคุม

จากผลการประเมินประสิทธิภาพรวมการจับผู้นับด้วยการชี้ด้วยตัวอย่างน้ำ (\hat{N}_{sample}) เมื่อมีการปรับเปลี่ยนตัวแปรควบคุมต่างๆ พบว่า ผลของขนาดอนุภาคผุน (D_p) ขนาดหยดละอองน้ำ (D_w) และความเร็วลมจากสิ่งแวดล้อม (U_{wind}) ต่อค่า \hat{N}_{sample} สอดคล้องกับเนื้อหาที่เคยนำเสนอไปในหัวข้อที่ 5.1 และ 5.2 ส่วนความเข้มข้นผุนที่พุ่งขึ้นมาจากการแหล่งกำเนิด (C_s) ซึ่งเป็นความเข้มข้นผุนที่มีผลต่อระบบมากที่สุดเมื่อเทียบกับความเข้มข้นผุนในบริเวณควบคุม (C_0) และความเข้มข้นผุนจากสิ่งแวดล้อม (C_{amb}) เมื่อมีค่าเพิ่มขึ้นจะทำให้ \hat{N}_{sample} มีค่าเพิ่มขึ้นเช่นกัน แต่ค่าที่เพิ่มขึ้นนี้เพิ่มขึ้นไม่มากนัก ส่วนความสูงลำสร่าย (L_w) เมื่อมีความสูงมากขึ้นหรือระยะระหว่างหัวจัดและแหล่งกำเนิดห่างกันมากขึ้นค่า \hat{N}_{sample} จะมีค่าเพิ่มขึ้น ส่วนความสูงของแหล่งกำเนิดผุน (H) เมื่อมีค่าเพิ่มขึ้นกลับทำให้ \hat{N}_{sample} มีค่าลดลง แต่ค่าที่ลดลงนี้จะลดลงไม่มากนัก และถ้าพิจารณาจากความเข้นของกราฟแสดงดังรูปที่ 5.16 จะพบว่าตัวแปรขนาดของอนุภาคผุน (โดยเฉพาะอนุภาคผุนที่มีขนาด $< 6 \text{ } \mu\text{m}$ ไมครอน) จะมีความไวต่อค่า \hat{N}_{sample} มากที่สุดรองลงมาคือขนาดของหยดละอองน้ำและความสูงของลำสร่ายตามลำดับ ส่วนความเข้มข้นผุนที่พุ่งขึ้นมาจากการแหล่งกำเนิดและความเร็วลมจากสิ่งแวดล้อมแม้ค่าจะเปลี่ยนแปลงไป แต่มีผลต่อค่า \hat{N}_{sample} ไม่มากนัก

สถาบันวิทยบริการ
จุฬาลงกรณ์มหาวิทยาลัย